



www.cnrs.fr



Laboratoire
MECANIQUE PHYSIQUE
Université Bordeaux 1 - CNRS

Modélisation de la propagation d'ondes élastiques antiplanes dans des milieux multifissurés

Mihai CALEAP

Directeur de thèse : Christophe Aristégui



Contexte local

✓ Acoustique Ultrasonore - Endommagement (LMP)

- propagation d'ondes élastiques en milieux hétérogènes

Sollicitations dynamiques : longitudinale, transverse

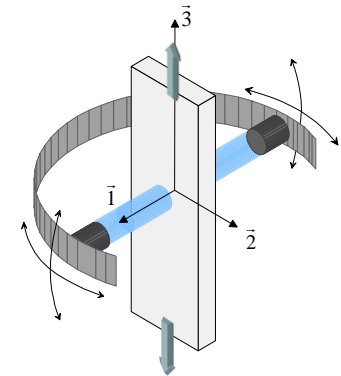
Hétérogénéités : singularités géométriques 2D/3D

- mesure des variations sous charge des $C_{ij}(\omega)$

confrontation $\left\{ \begin{array}{l} C_{ij}(\omega) \text{ identifiés (à partir de mesures)} \\ C_{ij} \text{ prédits en fonction de la fissuration} \end{array} \right.$

⇒ état de l'endommagement (densité de fissures, orientation)

- ➔ vers l'établissement d'un modèle dynamique prédisant les $C_{ij}(\omega)$ d'un milieu microfissuré



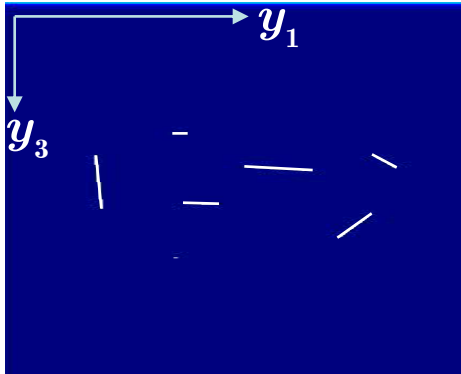
✓ modèle(s) développé(s) dans l'étude actuelle :

cisaillement antiplan, isotrope, fissures

Problématique de l'étude : diffusion multiple

✓ illustration

onde plane incidente



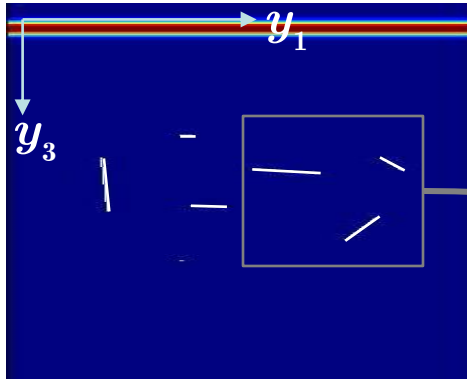
✓ cadre d'étude

- distribution aléatoire et uniforme de fissures
- fissures :
 - plates ou ouvertes
 - alignées ou aléatoirement orientées
 - vides ou saturées d'un fluide visqueux
 - tailles variables

Diffusion multiple : modélisation

✓ illustration

onde plane incidente



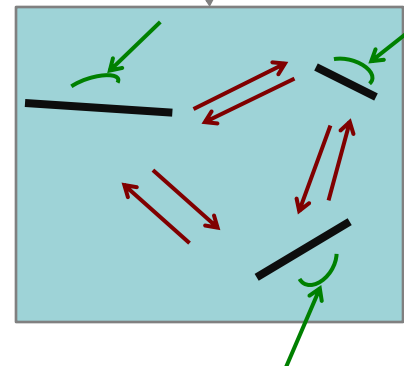
✓ cadre d'étude

- distribution aléatoire et uniforme de fissures
- fissures :
 - plates ou ouvertes
 - alignées ou aléatoirement orientées
 - vides ou saturées d'un fluide visqueux
 - tailles variables

✓ description déterministe

$$\mathbf{u}^{\text{Tot}}(\mathbf{M}) = \mathbf{u}^{\text{Inc}}(\mathbf{M}) + \sum_{k=1}^n \mathbf{u}^{\text{Dif}}(\mathbf{M}; \mathbf{P}_k)$$

champ incident

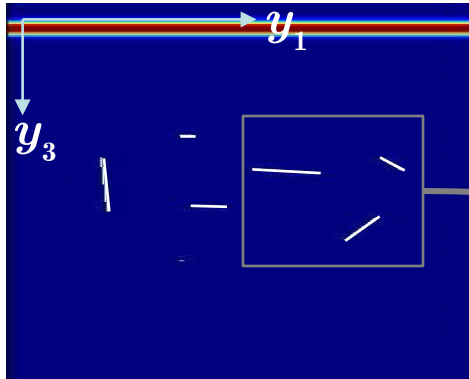


champ diffusé

Diffusion multiple : modélisation

✓ illustration

onde plane incidente



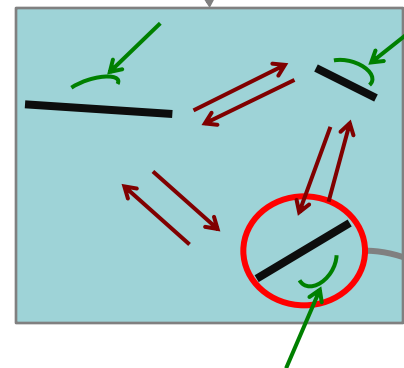
✓ cadre d'étude

- distribution aléatoire et uniforme de fissures
- fissures :
 - plates ou ouvertes
 - alignées ou aléatoirement orientées
 - vides ou saturées d'un fluide visqueux
 - tailles variables

✓ description déterministe

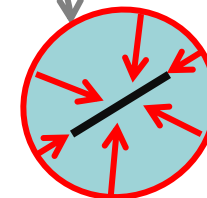
$$\left\{ \begin{array}{l} \mathbf{u}^{\text{Tot}}(\mathbf{M}) = \mathbf{u}^{\text{Inc}}(\mathbf{M}) + \sum_{k=1}^n \mathbf{u}^{\text{Dif}}(\mathbf{M}; \mathbf{P}_k) \\ \mathbf{u}^{\text{Dif}}(\mathbf{M}; \mathbf{P}_k) = \mathbf{T}(\mathbf{P}_k) \mathbf{u}^{\text{Ex}}(\mathbf{M}; \mathbf{P}_k) \\ \mathbf{u}^{\text{Ex}}(\mathbf{M}; \mathbf{P}_k) = \mathbf{u}^{\text{Inc}}(\mathbf{M}) + \sum_{\substack{j=1 \\ j \neq k}}^n \mathbf{u}^{\text{Dif}}(\mathbf{M}; \mathbf{P}_j) \end{array} \right.$$

champ incident



champ diffusé

champ d'excitation

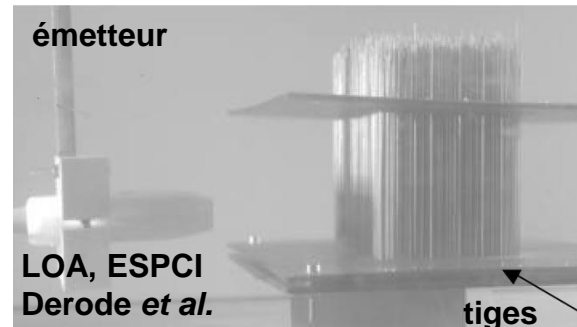
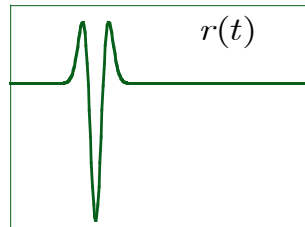


nature récursive des interactions multiples

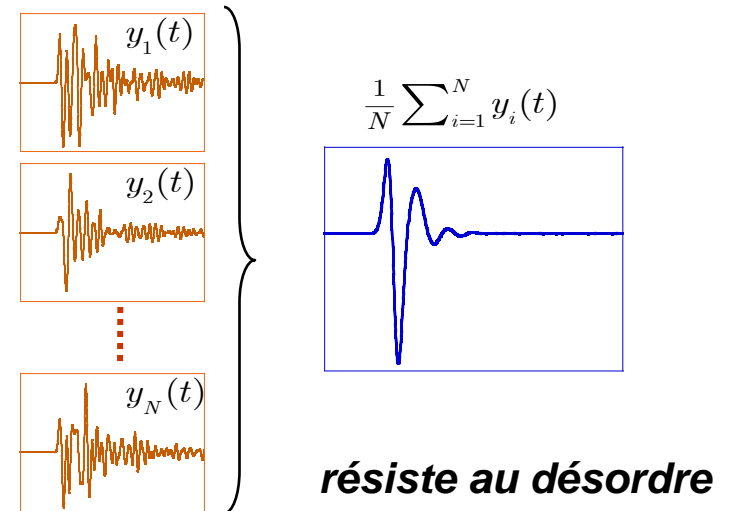
Diffusion multiple : modélisation

✓ description probabiliste → onde cohérente

▪ illustration expérimentale :



moyenne sur les configurations



Diffusion multiple : modélisation

✓ **description probabiliste** → **onde cohérente**

➤ déterminer analytiquement le « champ de déplacement cohérent »

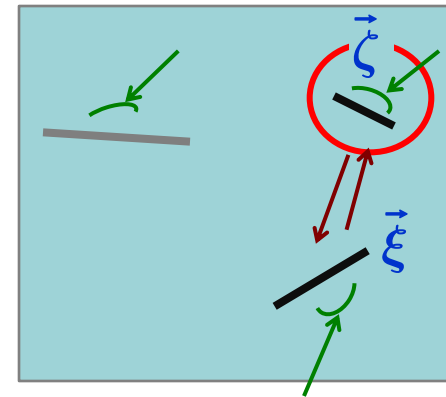
▪ **modélisation**

$$\langle \mathbf{u}^{\text{Tot}} \rangle(\mathbf{M}) = \mathbf{u}^{\text{Inc}}(\mathbf{M}) + n_0 \int_V \langle \mathbf{u}^{\text{Dif}} \rangle(\mathbf{M}; \vec{\zeta}) d\vec{\zeta}$$

$$\langle \mathbf{u}^{\text{Dif}} \rangle(\mathbf{M}; \vec{\zeta}) = \mathbf{T}(\vec{\zeta}) \langle \mathbf{u}^{\text{Ex}} \rangle(\mathbf{M}; \vec{\zeta})$$

$$\langle \mathbf{u}^{\text{Ex}} \rangle(\mathbf{M}; \vec{\zeta}) = \mathbf{u}^{\text{Inc}}(\mathbf{M}) + n_0 \int_V \langle \mathbf{u}^{\text{Dif}} \rangle(\mathbf{M}; \vec{\xi}, \vec{\zeta}) d\vec{\xi}$$

▪ **illustration**



n_0 : nombre de diffuseurs (fissures) par unité de surface

Diffusion multiple : modélisation

✓ description probabiliste → onde cohérente

➤ déterminer analytiquement le « champ de déplacement cohérent »

▪ modélisation

$$\langle \mathbf{u}^{\text{Tot}} \rangle(\mathbf{M}) = \mathbf{u}^{\text{Inc}}(\mathbf{M}) + n_0 \int_V \langle \mathbf{u}^{\text{Dif}} \rangle(\mathbf{M}; \vec{\zeta}) d\vec{\zeta}$$

$$\langle \mathbf{u}^{\text{Dif}} \rangle(\mathbf{M}; \vec{\zeta}) = \mathbf{T}(\vec{\zeta}) \langle \mathbf{u}^{\text{Ex}} \rangle(\mathbf{M}; \vec{\zeta})$$

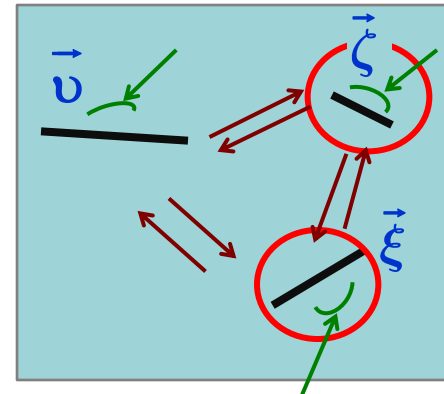
$$\langle \mathbf{u}^{\text{Ex}} \rangle(\mathbf{M}; \vec{\zeta}) = \mathbf{u}^{\text{Inc}}(\mathbf{M}) + n_0 \int_V \langle \mathbf{u}^{\text{Dif}} \rangle(\mathbf{M}; \vec{\xi}, \vec{\zeta}) d\vec{\xi}$$

$$\langle \mathbf{u}^{\text{Ex}} \rangle(\mathbf{M}; \vec{\xi}, \vec{\zeta}) = \mathbf{u}^{\text{Inc}}(\mathbf{M}) + n_0 \int_V \langle \mathbf{u}^{\text{Dif}} \rangle(\mathbf{M}; \vec{\xi}, \vec{\zeta}, \vec{\nu}) d\vec{\nu}$$

⋮

expressions lourdes à manipuler !

▪ illustration



n_0 : nombre de diffuseurs (fissures) par unité de surface

Diffusion multiple : modélisation

✓ **description probabiliste** → **onde cohérente**

➤ déterminer analytiquement le « champ de déplacement cohérent »

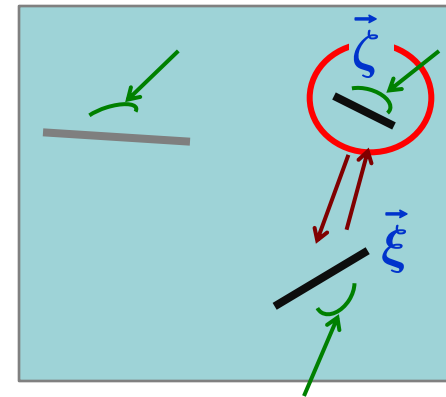
▪ **modélisation**

$$\langle \mathbf{u}^{\text{Tot}} \rangle(\mathbf{M}) = \mathbf{u}^{\text{Inc}}(\mathbf{M}) + n_0 \int_V \langle \mathbf{u}^{\text{Dif}} \rangle(\mathbf{M}; \vec{\zeta}) d\vec{\zeta}$$

$$\langle \mathbf{u}^{\text{Dif}} \rangle(\mathbf{M}; \vec{\zeta}) = \mathbf{T}(\vec{\zeta}) \langle \mathbf{u}^{\text{Ex}} \rangle(\mathbf{M}; \vec{\zeta})$$

$$\langle \mathbf{u}^{\text{Ex}} \rangle(\mathbf{M}; \vec{\zeta}) = \mathbf{u}^{\text{Inc}}(\mathbf{M}) + n_0 \int_V \langle \mathbf{u}^{\text{Dif}} \rangle(\mathbf{M}; \vec{\xi}, \vec{\zeta}) d\vec{\xi}$$

▪ **illustration**



▪ **hypothèses de fermeture (troncature du phénomène récursif)**

➤ différents choix $\langle \mathbf{u}^{\text{Ex}} \rangle(\mathbf{M}; \vec{\zeta}) \approx \mathbf{u}^{\text{Inc}}(\mathbf{M}) \longrightarrow$ diffusion simple

$$\langle \mathbf{u}^{\text{Ex}} \rangle(\mathbf{M}; \vec{\zeta}) \approx \langle \mathbf{u}^{\text{Tot}} \rangle(\mathbf{M})$$

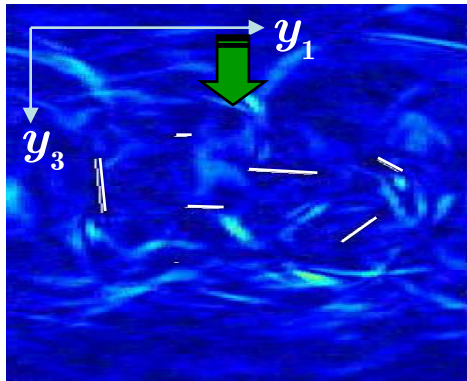
⋮

Diffusion multiple : modélisation

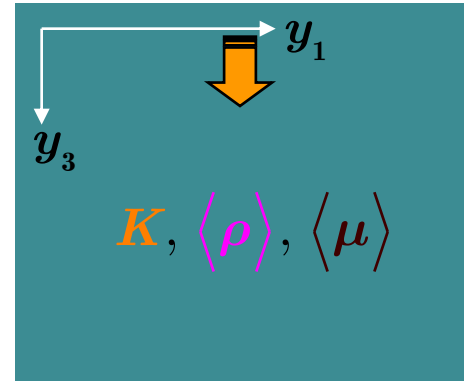
✓ description probabiliste

→ *milieu effectif*

milieu inhomogène initial



milieu homogène équivalent



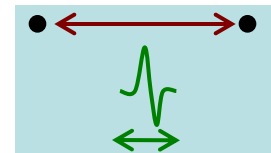
- nombre d'onde effectif : $\vec{K} = \left(\frac{\omega}{c} + i\alpha \right) \vec{y}_3$
 - masse volumique effective : $\langle \rho \rangle$
 - module de rigidité effectif : $\langle \mu \rangle$
- du milieu homogène équivalent qui supporte la propagation de l'onde cohérente

lamé

⇒ dépendent de la *diffusion simple* par un diffuseur isolé

➤ régime propagatif

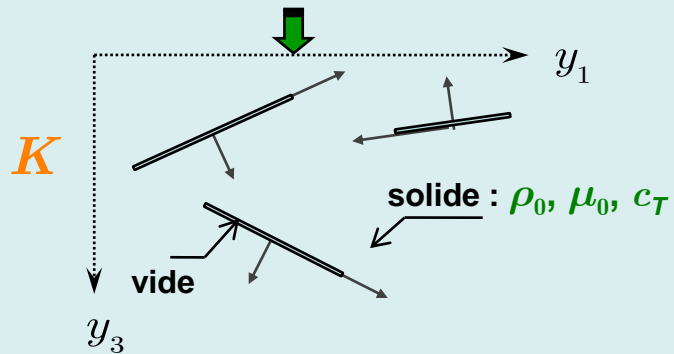
(libre parcours moyen élastique > longueur d'onde incidente)



Sommaire

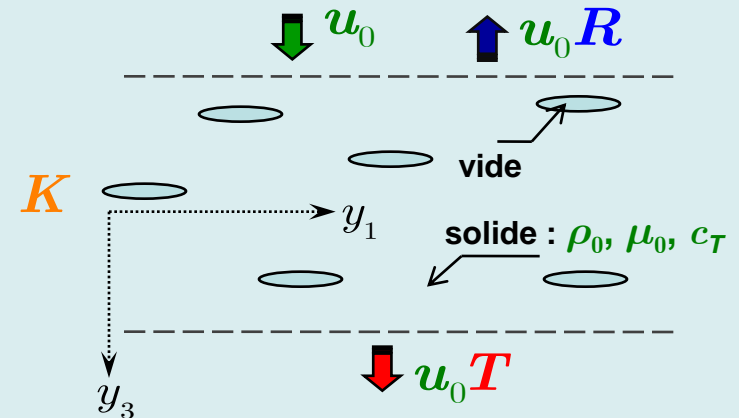
Partie A

onde transverse horizontale incidente



- fissures plates vides
- milieu infini
- existence *a priori*
- résout l'équation sur $\langle \mathbf{u}^{\text{Tot}} \rangle$
- fissures inclinées

Partie B

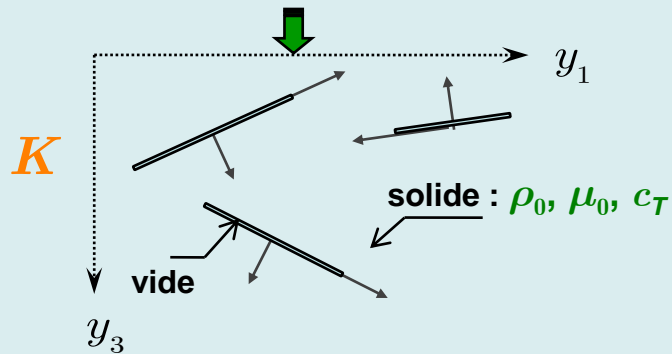


- fissures ouvertes vides
- milieu borné (couche)
- existence *a posteriori*
- résout l'équation sur $\langle \mathbf{u}^{\text{Ex}} \rangle$
- $\langle \rho \rangle, \langle \mu \rangle$

Sommaire

Partie A

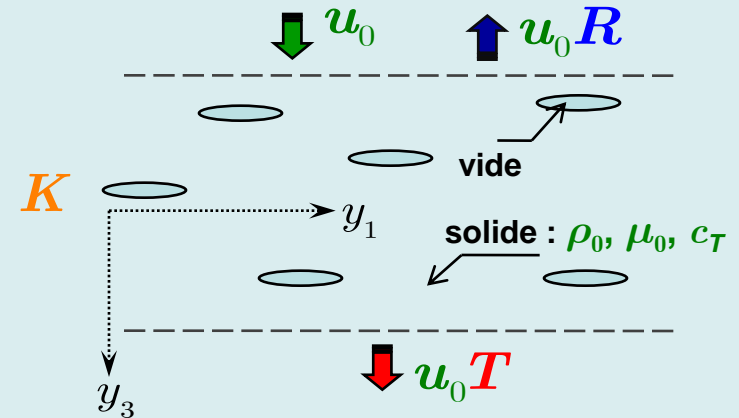
onde transverse horizontale incidente



- fissures plates vides
- milieu infini
- existence *a priori*
- résout l'équation sur $\langle \mathbf{u}^{\text{Tot}} \rangle$

- fissures inclinées

Partie B



- fissures ouvertes vides
- milieu borné (couche)
- existence *a posteriori*
- résout l'équation sur $\langle \mathbf{u}^{\text{Ex}} \rangle$

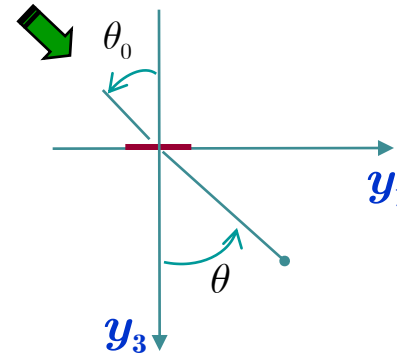
- $\langle \rho \rangle, \langle \mu \rangle$

Même structure { diffusion simple
diffusion multiple (aléatoire)

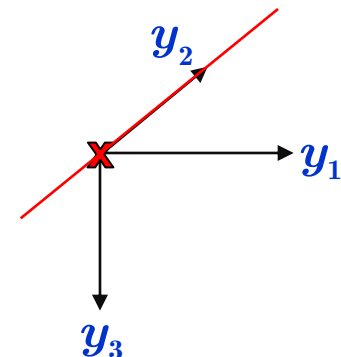
Partie A

I. Diffusion simple par une fissure plate

1. Représentation de Green
2. Densité de dislocation
3. Équation intégrale singulière
4. Amplitude de diffusion



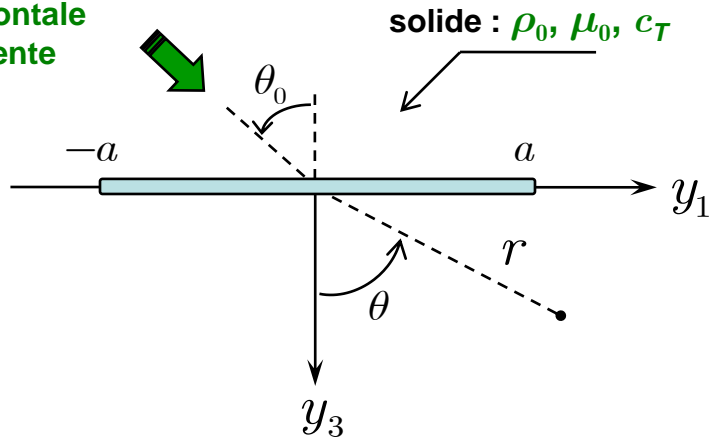
II. Diffusion multiple par une distribution aléatoire de fissures plates



- fissure plate = juxtaposition continue de sources linéiques isotropes
- solicitation sous incidence

I.1 Représentation de Green

onde transverse
horizontale
incidente



- ✓ problème 2D
- ✓ longueur $2a$
- ✓ ligne de discontinuités

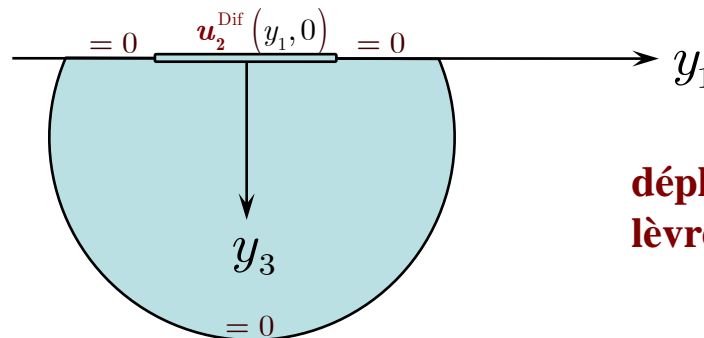
Champ de déplacement diffusé $\mathbf{u}_2^{\text{Dif}}(y_1, y_3)$:

- ✓ discontinu
- ✓ antisymétrique / y_3

$$\mathbf{u}_2^{\text{Dif}}(y_1, y_3) = -\mathbf{u}_2^{\text{Dif}}(y_1, -y_3)$$

✓ Représentation de Green (à partir des données sur le contour)

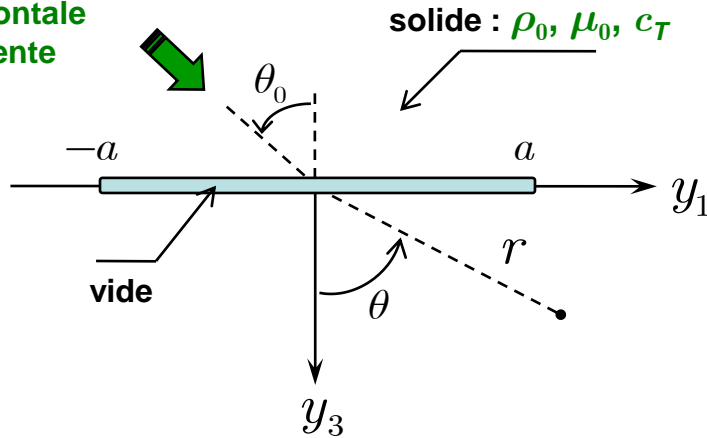
$$\mathbf{u}_2^{\text{Dif}}(y_1, y_3) = \text{sgn}(y_3) \frac{i}{2} \mathbf{k}_T y_3 \int_{-a}^a \frac{\mathbf{u}_2^{\text{Dif}}(y_1, 0)}{r_0} H_1^{(1)}(\mathbf{k}_T r_0) ds, \quad r_0^2 = (y_1 - s)^2 + y_3^2$$



déplacement sur les
lèvres de la fissure : $\mathbf{u}_2^{\text{Dif}}(y_1, 0)$

I.2 Densité de dislocation

onde transverse
horizontale
incidente



- ✓ problème 2D
- ✓ longueur $2a$
- ✓ ligne de discontinuités

Champ de déplacement diffusé $\mathbf{u}_2^{\text{Dif}}(y_1, y_3)$:

- ✓ discontinu
- ✓ antisymétrique / y_3

Déplacement sur les
lèvres de la fissure :

$$\mathbf{u}_2^{\text{Dif}}(y_1, 0; \mathbf{b}) = \begin{cases} \int_{y_1}^a \mathbf{b}(v) dv, & |y_1| < a \\ 0, & |y_1| \geq a \end{cases}$$

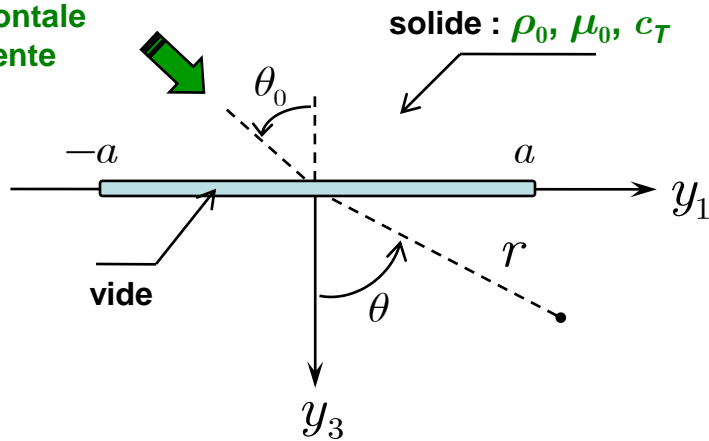
densité de dislocation à travers
les lèvres de la fissure

Fissure à surfaces libres :

$$\sigma_{23}^{\text{Dif}}(y_1, 0) = -\sigma_{23}^{\text{Inc}}(y_1, 0) \quad |y_1| < a$$

I.3 Équation intégrale singulière

onde transverse
horizontale
incidente



- ✓ problème 2D
- ✓ longueur $2a$
- ✓ ligne de discontinuités

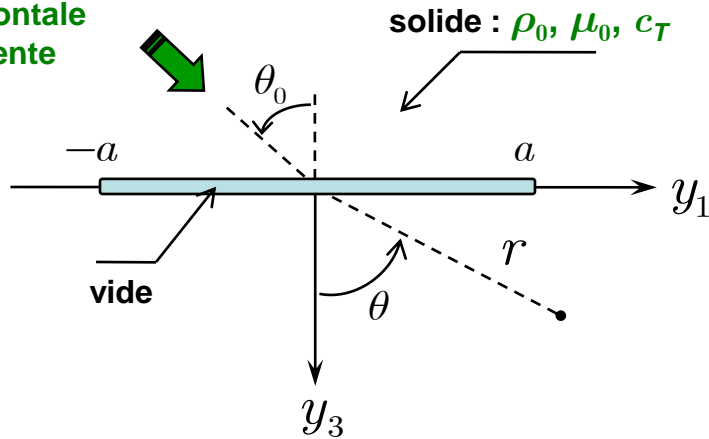
Champ de déplacement diffusé $\mathbf{u}_2^{\text{Dif}}(y_1, y_3)$:

- ✓ discontinu
- ✓ antisymétrique / y_3

$$\mathbf{TF} / y_1 \left[\mathbf{u}_2^{\text{Dif}} \right] \Rightarrow \mathbf{ÉDO} + \left\{ \sigma_{23}^{\text{Dif}}(y_1, 0) = -\sigma_{23}^{\text{Inc}}(y_1, 0), |y_1| < a \right\} \Rightarrow \mathbf{b} ?$$

I.3 Équation intégrale singulière

onde transverse
horizontale
incidente



- ✓ problème 2D
- ✓ longueur $2a$
- ✓ ligne de discontinuités

Champ de déplacement diffusé $\mathbf{u}_2^{\text{Dif}}(y_1, y_3)$:

- ✓ discontinu
- ✓ antisymétrique / y_3

$$\text{TF} / y_1 \left[\mathbf{u}_2^{\text{Dif}} \right] \Rightarrow \text{ÉDO} + \left\{ \sigma_{23}^{\text{Dif}}(y_1, 0) = -\sigma_{23}^{\text{Inc}}(y_1, 0), |y_1| < a \right\} \Rightarrow \mathbf{b} ?$$

Équation intégrale singulière :

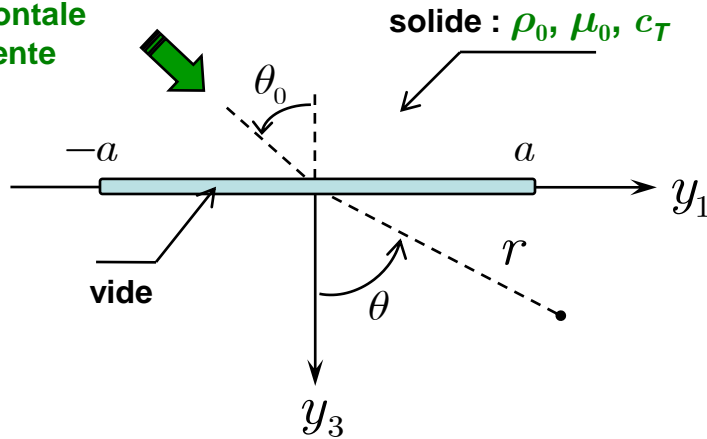
$$\int_{-a}^a \mathbf{b}(v) \left[\frac{1}{v - y_1} + S(\mathbf{k}_T, v - y_1) \right] dv = \frac{\pi}{i\mu_0} \sigma_{23}^{\text{Inc}}(y_1, 0), \quad |y_1| < a$$

réponse

sollicitation

I.4 Amplitude de diffusion

onde transverse
horizontale
incidente



- ✓ problème 2D
- ✓ longueur $2a$
- ✓ ligne de discontinuités

Champ de déplacement diffusé $\mathbf{u}_2^{\text{Dif}}(y_1, y_3)$:

- ✓ discontinu
- ✓ antisymétrique / y_3

✓ **Champ de déplacement diffusé : représentation de Green**

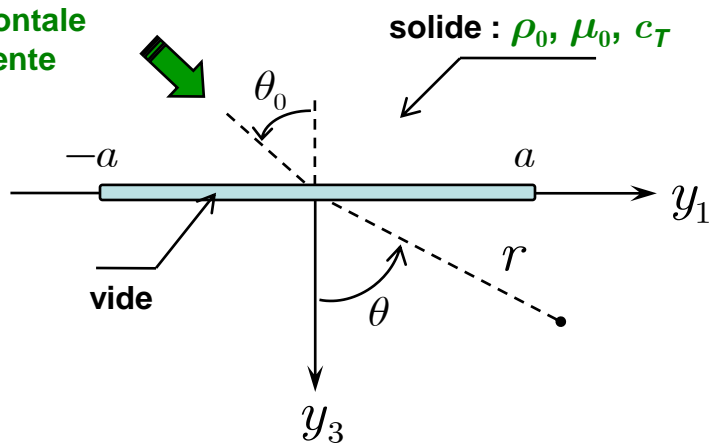
$$\mathbf{u}_2^{\text{Dif}}(y_1, y_3) = \text{sgn}(y_3) \frac{i}{2} \mathbf{k}_T y_3 \int_{-a}^a \frac{\mathbf{u}_2^{\text{Dif}}(y_1, 0; \mathbf{b})}{r_0} H_1^{(1)}(\mathbf{k}_T r_0) ds, \quad r_0^2 = (y_1 - s)^2 + y_3^2$$

✓ **Diffusion en champ lointain :** $\mathbf{u}_2^{\text{Dif}}(r, \theta, \theta_0) = u_0 \sqrt{\frac{2\pi}{\mathbf{k}_T r}} e^{i\left(\mathbf{k}_T r + \frac{\pi}{4}\right)} \mathbf{f}(\theta, \theta_0)$

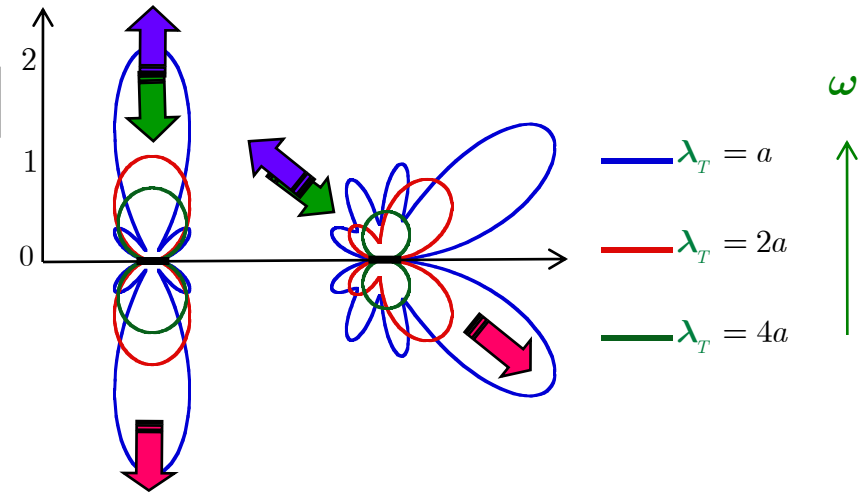
✓ **Amplitude de diffusion :** $\mathbf{f}(\theta, \theta_0) = \frac{\cot \theta}{2\pi u_0} \int_{-a}^a \mathbf{b}(v, \theta_0) e^{-i\mathbf{k}_T v \sin \theta} dv$ **utilisée dans la modélisation de diffusion multiple**

I.4 Amplitude de diffusion

onde transverse
horizontale
incidente



$$|f(\theta, \theta_0)|$$



✓ Amplitude de diffusion : $f(\theta, \theta_0)$

diffusion vers l'avant : $\theta = \theta_0$

diffusion vers l'arrière : $\theta = \theta_0 + \pi$

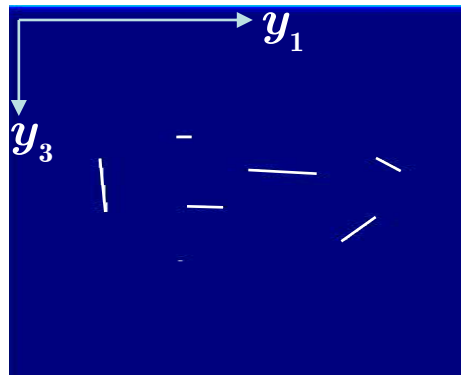
- diffusion anisotrope $\forall \omega$
- symétrie du plan de fissure
- $\omega \nearrow$ plus directif, n de lobes augmente

Partie A

I. Diffusion simple par une fissure plate

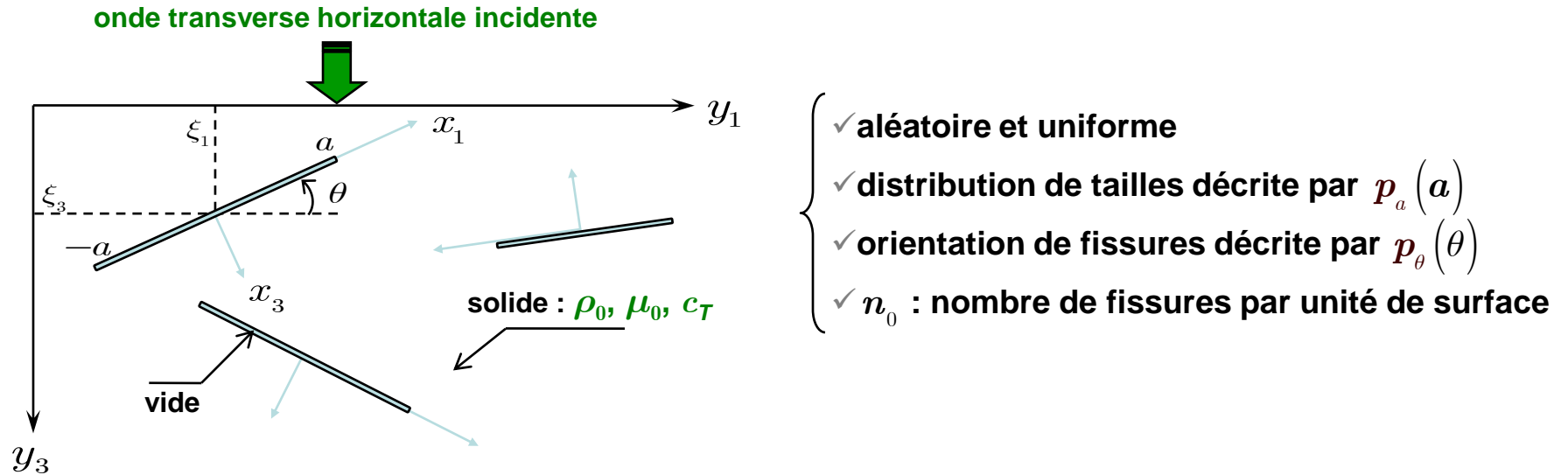
II. Diffusion multiple par une distribution uniforme et aléatoire de fissures plates

1. Détermination de l'onde cohérente
2. Hypothèse de fermeture
3. Champ moyen diffusé
4. Équation de dispersion pour K
5. Formulation explicite pour K
6. Atténuation et dispersion



Objectif : recherche d'un milieu effectif équivalent au solide multifissuré

II.1 Détermination de l'onde cohérente



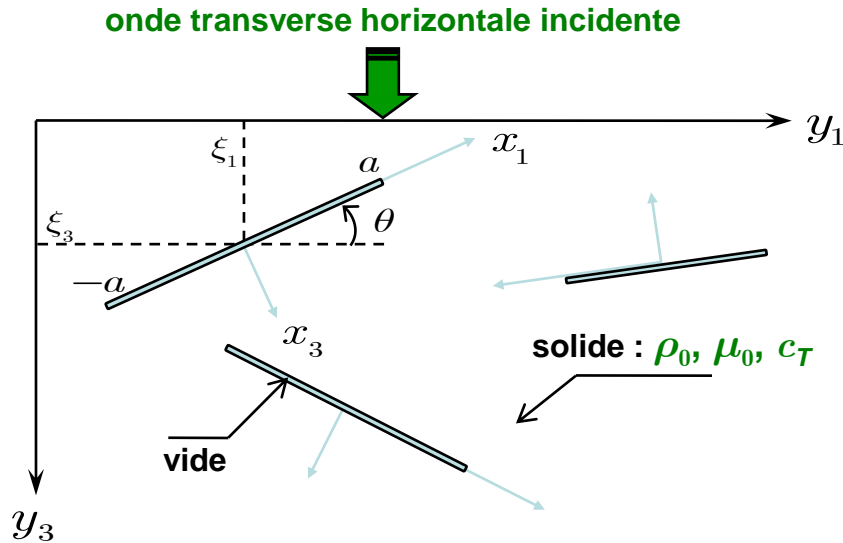
✓ **Détermination de l'onde cohérente : champ moyen total** à évaluer

$$\langle \mathbf{u}_2^{\text{Tot}} \rangle(y_3) = e^{i k_T y_3} + n_0 \int \langle \mathbf{u}_2^{\text{Dif}} \rangle(\vec{y}; \vec{\xi}) p_a(a) p_\theta(\theta) d\xi d\theta da$$

Cherchons l'onde cohérente sous la forme $\langle \mathbf{u}_2^{\text{Tot}} \rangle(y_3) = e^{i K y_3}$, où K est le *nombre d'onde effectif*

à déterminer

II.2 Hypothèse de fermeture



- ✓ aléatoire et uniforme
- ✓ distribution de tailles décrite par $p_a(a)$
- ✓ orientation de fissures décrite par $p_\theta(\theta)$
- ✓ n_0 : nombre de fissures par unité de surface

$$\langle \mathbf{u}_2^{\text{Dif}} \rangle(\vec{y}; \vec{\xi}) = ?$$

✓ Conditions aux limites

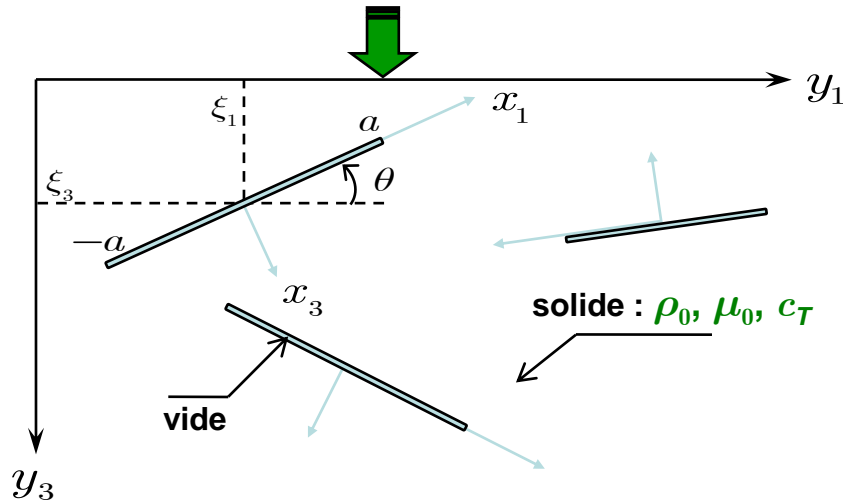
$$\begin{cases} \frac{\partial}{\partial x_3} \langle \mathbf{u}_2^{\text{Dif}} \rangle(\vec{x}; \vec{\xi}) = -\frac{\partial}{\partial x_3} \langle \mathbf{u}_2^{\text{Ex}} \rangle(\vec{x}; \vec{\xi}), & |x_1| < a \\ \langle \mathbf{u}_2^{\text{Dif}} \rangle(\vec{x}; \vec{\xi}) = 0, & |x_1| \geq a \end{cases}, \text{ en } x_3 = 0$$

✓ Hypothèse de fermeture (Foldy 1945)

$$\langle \mathbf{u}_2^{\text{Ex}} \rangle(\vec{x}; \xi_3) \simeq \langle \mathbf{u}_2^{\text{Tot}} \rangle(\vec{x}; \xi_3) = e^{iK(x_1 \sin \theta + x_3 \cos \theta + \xi_3)}$$

II.3 Champ moyen diffusé

onde transverse horizontale incidente



- ✓ aléatoire et uniforme
- ✓ distribution de tailles décrite par $p_a(a)$
- ✓ orientation de fissures décrite par $p_\theta(\theta)$
- ✓ n_0 : nombre de fissures par unité de surface

✓ **Champ moyen diffusé : représentation de Green**

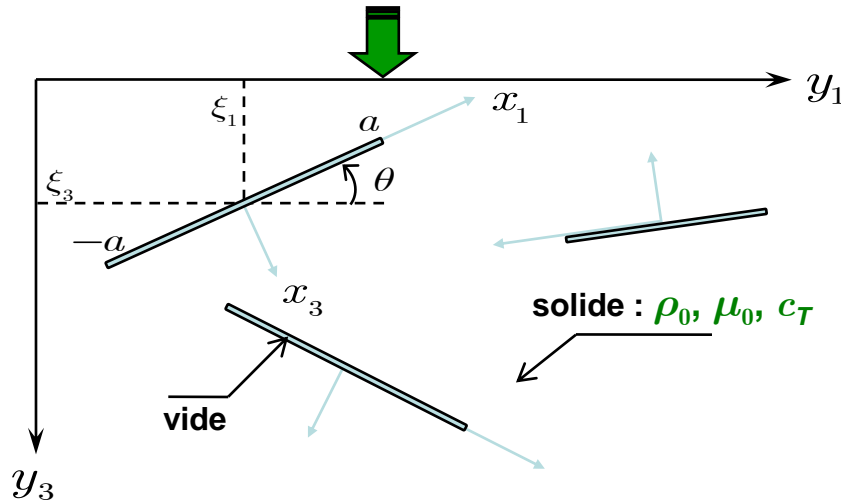
$$\langle \mathbf{u}_2^{\text{Dif}} \rangle(\vec{x}; \boldsymbol{\xi}_3) = \text{sgn}(x_3) \frac{K}{2} \cos \theta e^{iK\xi_3} \frac{\partial}{\partial x_3} \int_{-a}^a \langle \mathbf{u}_2^{\text{Dif}} \rangle(x_1, 0; \mathbf{b}_\infty) H_0^{(1)}(\mathbf{k}_T r_0) ds, \quad r_0^2 = (x_1 - s)^2 + x_3^2$$

Déplacement moyen sur les lèvres de la fissure :

$$\langle \mathbf{u}_2^{\text{Dif}} \rangle(x_1, 0; \mathbf{b}_\infty) \equiv \int_{x_1}^a \mathbf{b}_\infty(\mathbf{v}) dv, \quad |x_1| < a$$

II.4 Équation de dispersion pour K

onde transverse horizontale incidente

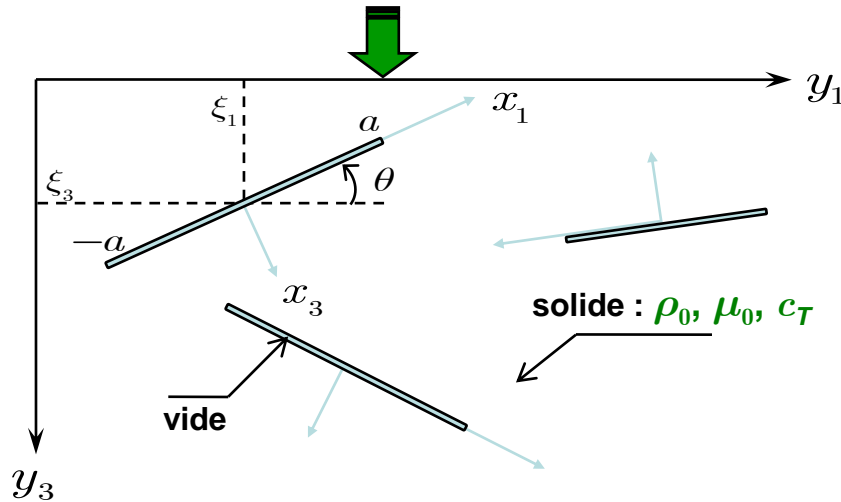


- ✓ aléatoire et uniforme
- ✓ distribution de tailles décrite par $p_a(a)$
- ✓ orientation de fissures décrite par $p_\theta(\theta)$
- ✓ n_0 : nombre de fissures par unité de surface

$$\left[\Delta_x + k_T^2 \right] \langle \mathbf{u}_2^{\text{Dif}} \rangle \Rightarrow \text{ÉDO} + \begin{cases} \text{conditions aux limites} \\ \text{hypothèse de fermeture} \end{cases} \Rightarrow K ?$$

II.4 Équation de dispersion pour K

onde transverse horizontale incidente



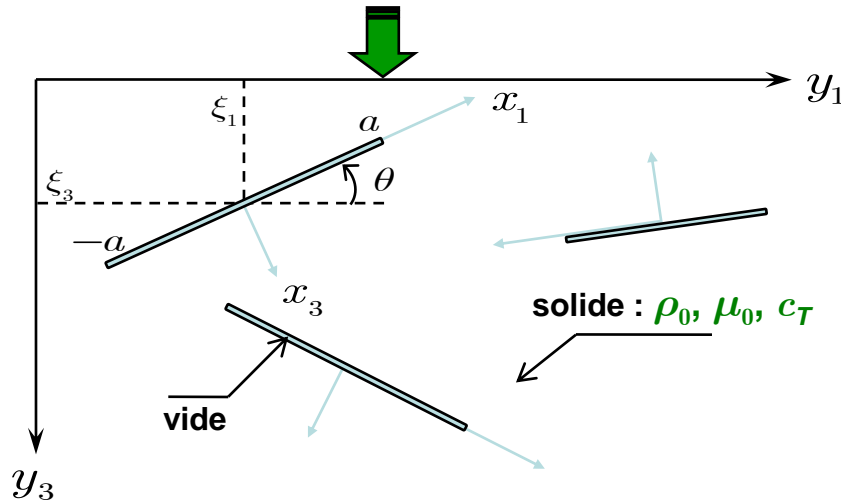
- ✓ aléatoire et uniforme
- ✓ distribution de tailles décrite par $p_a(a)$
- ✓ orientation de fissures décrite par $p_\theta(\theta)$
- ✓ n_0 : nombre de fissures par unité de surface

$$\left[\Delta_x + k_T^2 \right] \langle u_2^{\text{Dif}} \rangle \Rightarrow \text{ÉDO} + \begin{cases} \text{conditions aux limites} \\ \text{hypothèse de fermeture} \end{cases} \Rightarrow K ?$$

Équation transcendante : $k_T^2 - K^2 = -2n_0 \int_0^\pi \cot \theta p_\theta(\theta) \int_{a_{\min}}^{a_{\max}} p_a(a) \int_{-a}^a b_\infty(v) e^{-iKv \sin \theta} dv da d\theta \Rightarrow b_\infty ?$

II.4 Équation de dispersion pour K

onde transverse horizontale incidente



- ✓ aléatoire et uniforme
- ✓ distribution de tailles décrite par $p_a(a)$
- ✓ orientation de fissures décrite par $p_\theta(\theta)$
- ✓ n_0 : nombre de fissures par unité de surface

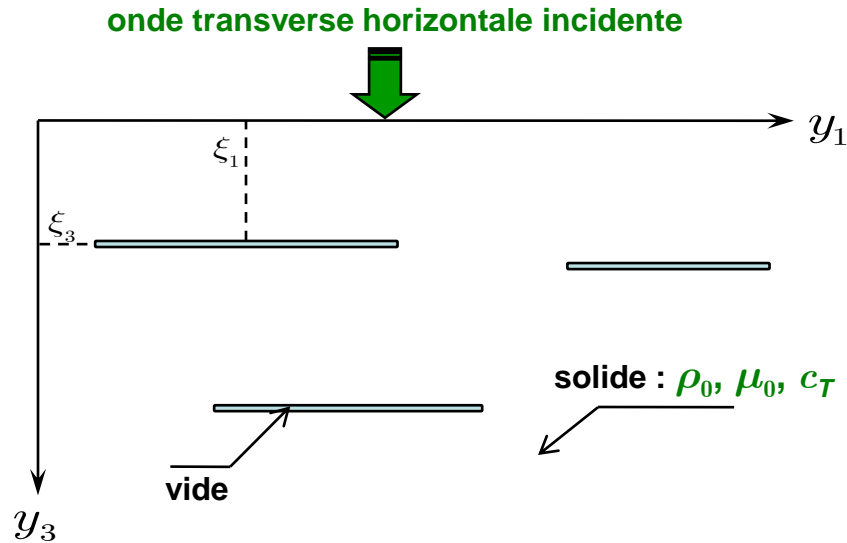
$$\left[\Delta_x + k_T^2 \right] \langle u_2^{\text{Dif}} \rangle \Rightarrow \text{ÉDO} + \begin{cases} \text{conditions aux limites} \\ \text{hypothèse de fermeture} \end{cases} \Rightarrow K ?$$

Équation transcendante : $k_T^2 - K^2 = -2n_0 \int_0^\pi \cot \theta p_\theta(\theta) \int_{a_{\min}}^{a_{\max}} p_a(a) \int_{-a}^a b_\infty(v) e^{-iKv \sin \theta} dv da d\theta \Rightarrow b_\infty ?$

Équation intégrale singulière : $\int_{-a}^a b_\infty(v) \left[\frac{1}{v - x_1} + S(v - x_1) \right] dv = i\pi K \cos \theta e^{iKx_1 \sin \theta}, |x_1| < a$

la fissure n'est plus soumise à l'onde incidente
mais directement à l'onde cohérente

II.5 Formulation explicite pour K



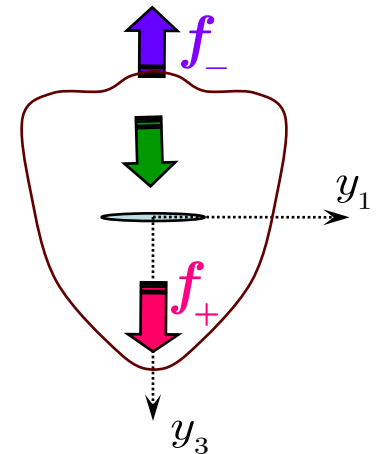
- ✓ distribution de tailles décrite par $p_a(a)$
- ✓ fissures parallèles au front d'onde cohérent :

$$p_\theta(\theta) = \delta(\theta)$$
- ✓ n_0 : nombre de fissures par unité de surface

➤ Nous avons montré que : $K^2 = 1 / \left(k_T^2 - 4\pi n_0 \langle f(0) \rangle \right)$

➤ Amplitude de diffusion *moyenne* vers l'avant pour une fissure seule

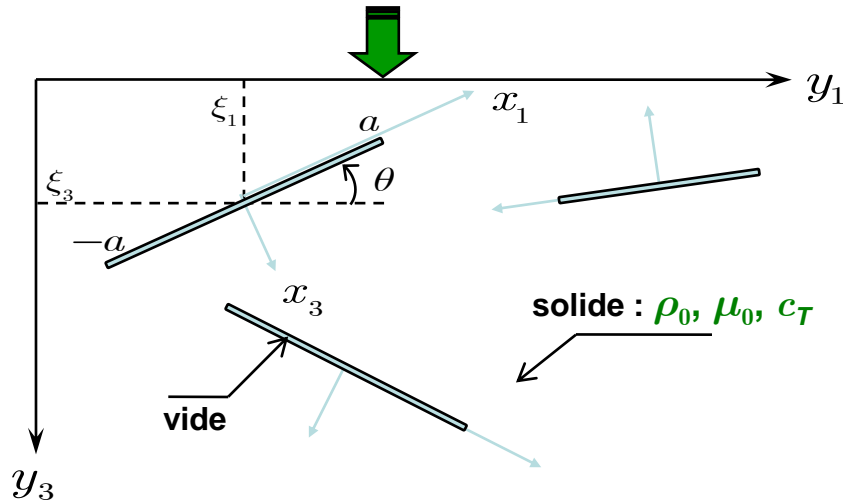
$$\langle f(0) \rangle = \int_{a_{\min}}^{a_{\max}} p_a(a) f_+^{(a)} da$$



Test : fissures de tailles identiques $(a_{\min} = a_{\max} = a) \implies$ [Angel & Koba, Int. J. Solids Structures (1998)]

II.5 Atténuation et dispersion

onde transverse horizontale incidente



- ✓ aléatoire et uniforme
- ✓ distribution de tailles décrite par $p_a(a)$
- ✓ orientation de fissures décrite par $p_\theta(\theta)$
- ✓ n_0 : nombre de fissures par unité de surface

➤ Nombre d'onde effectif K

✓ coefficient d'atténuation

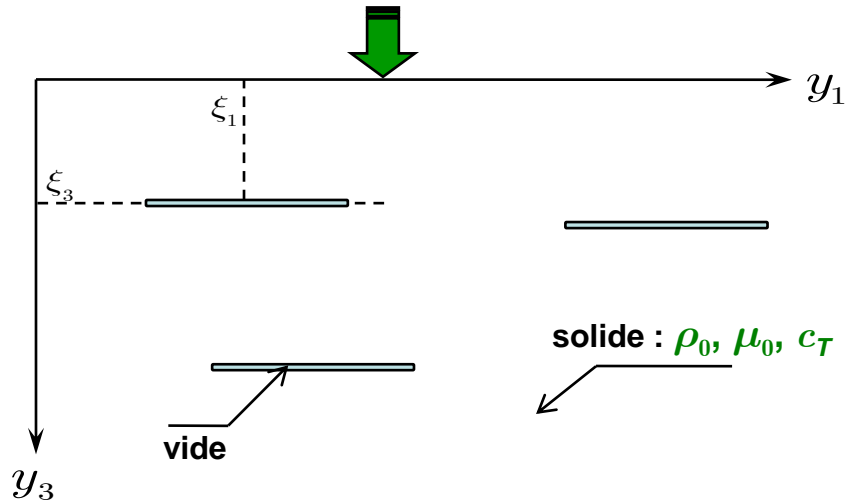
$$Q^{-1}(\omega) = 2 \frac{\text{Im } K(\omega)}{\text{Re } K(\omega)}$$

✓ célérité de phase

$$\frac{c(\omega)}{c_T} = \frac{k_T^2}{\text{Re } K(\omega)}$$

Effet de la **densité** de fissures

onde transverse horizontale incidente



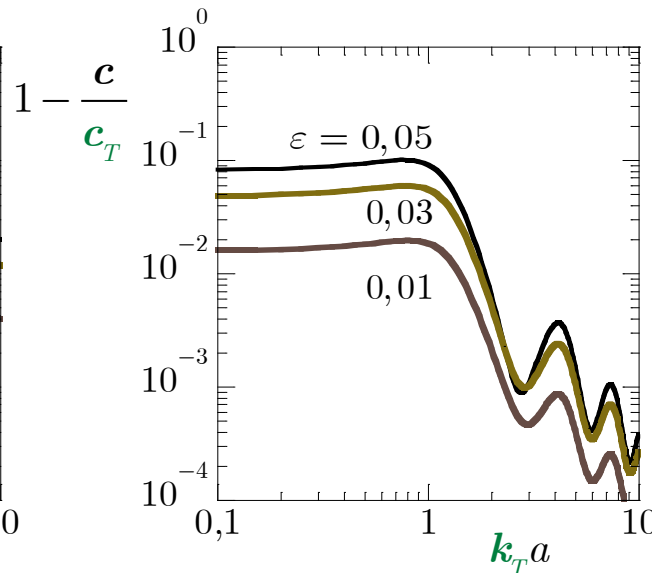
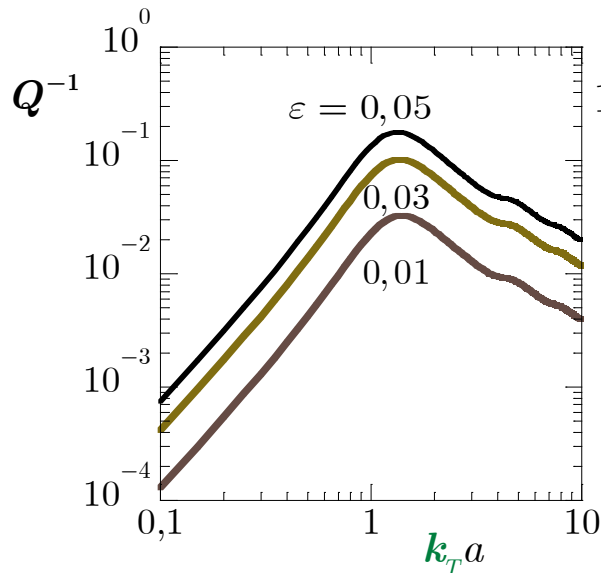
✓ fissures identiques :

$$a_{\min} = a_{\max} = a$$

✓ fissures parallèles au front d'onde cohérent :

$$p_{\theta}(\theta) = \delta(\theta)$$

✓ $\varepsilon = n_0 a^2$ densité de fissures



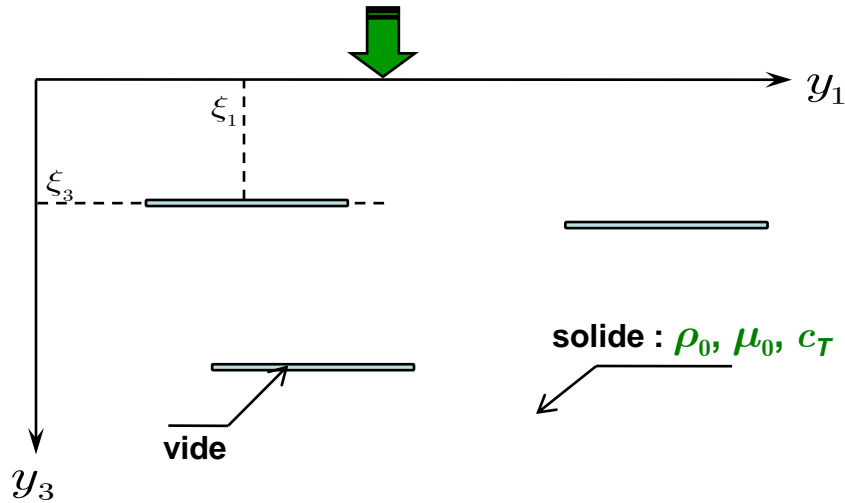
illustrations à l'échelle

$$4a \begin{array}{|c|} \hline 2a \\ \hline 4a \\ \hline \end{array} \Rightarrow \varepsilon = 0,0625$$

$$4a \begin{array}{|c|} \hline a \\ \hline a \\ \hline 4a \\ \hline \end{array} \Rightarrow \varepsilon = 0,03125$$

Effet de la **densité** de fissures

onde transverse horizontale incidente



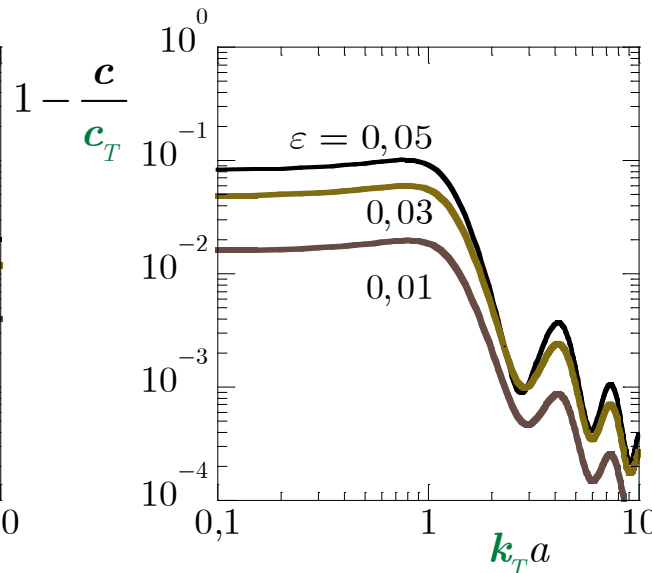
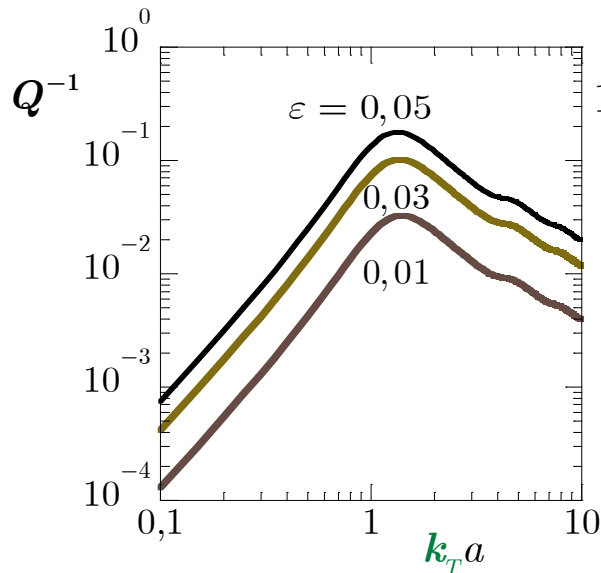
✓ fissures identiques :

$$a_{\min} = a_{\max} = a$$

✓ fissures parallèles au front d'onde cohérent :

$$p_{\theta}(\theta) = \delta(\theta)$$

✓ $\varepsilon = n_0 a^2$ densité de fissures

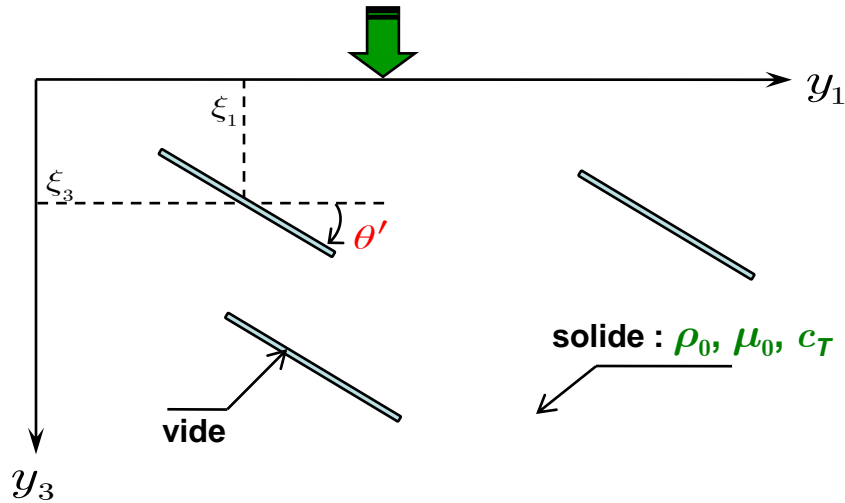


lorsque la densité augmente :

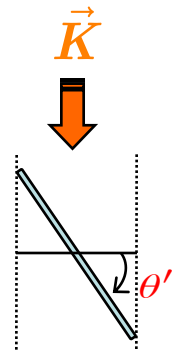
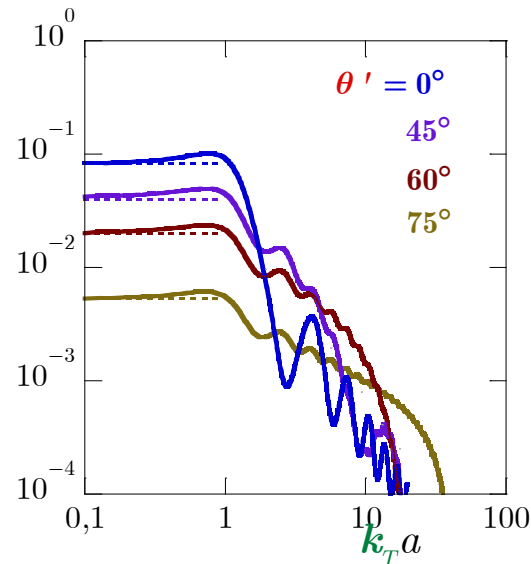
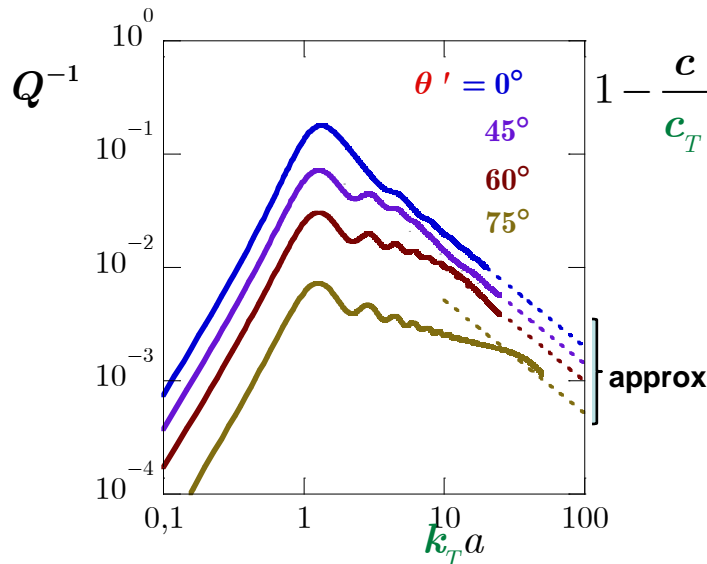
- l'atténuation augmente
- la célérité diminue

Effet de l'orientation de fissures

onde transverse horizontale incidente



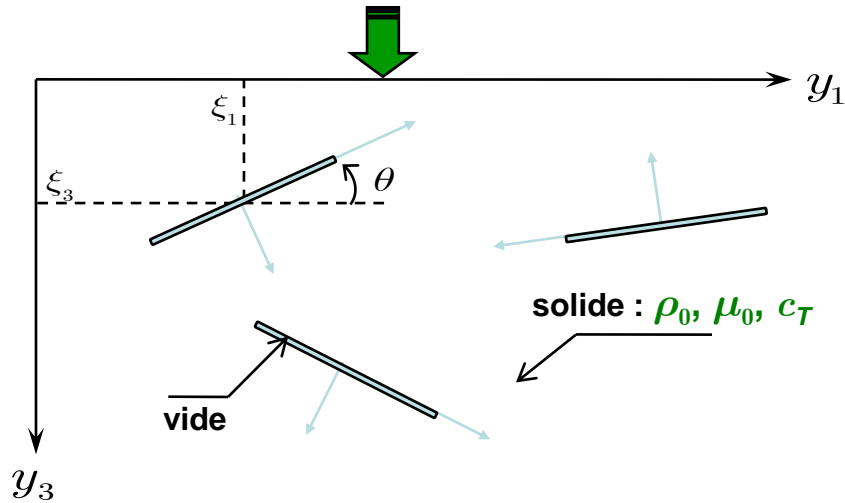
- ✓ fissures identiques : $a_{\min} = a_{\max} = a$
- ✓ fissures inclinées : $p_\theta(\theta) = \delta(\theta - \theta')$
- ✓ $\varepsilon = 0,05$



gouvernés par la longueur active

Effet de l'orientation de fissures

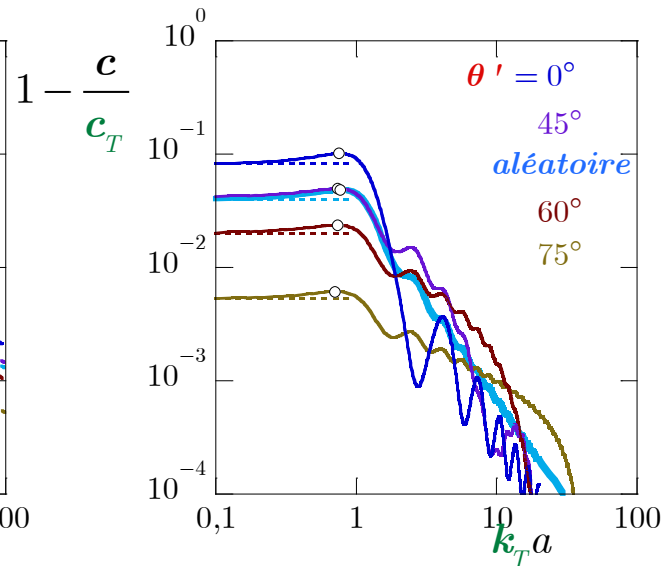
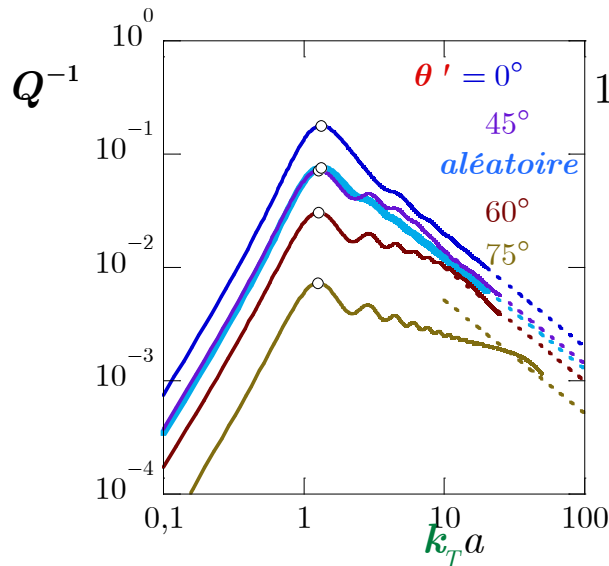
onde transverse horizontale incidente



- ✓ fissures identiques :

$$a_{\min} = a_{\max} = a$$
- ✓ fissures aléatoirement orientées :

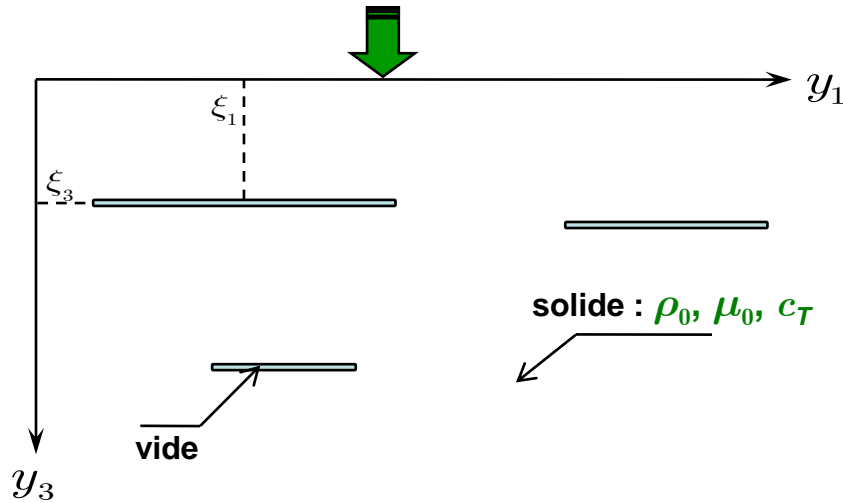
$$p_{\theta}(\theta) = 1 / \pi$$
- ✓ $\varepsilon = 0,05$



à basse fréquence :
 (aléatoire) $\approx 45^\circ$

Effet de la **taille** de fissures

onde transverse horizontale incidente

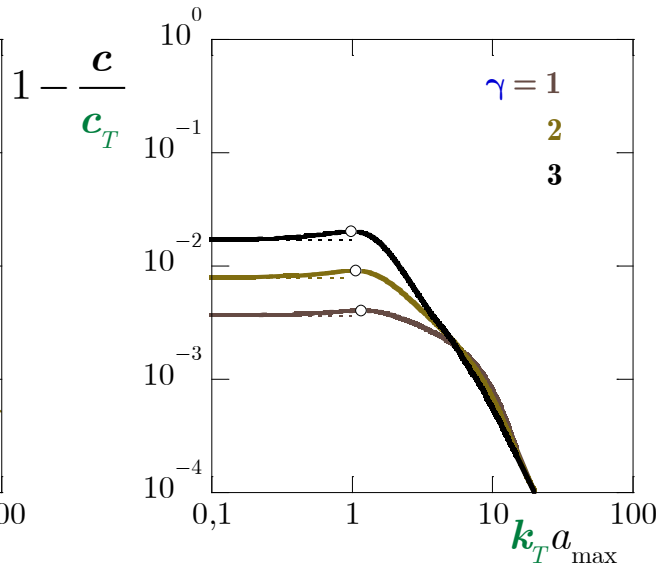
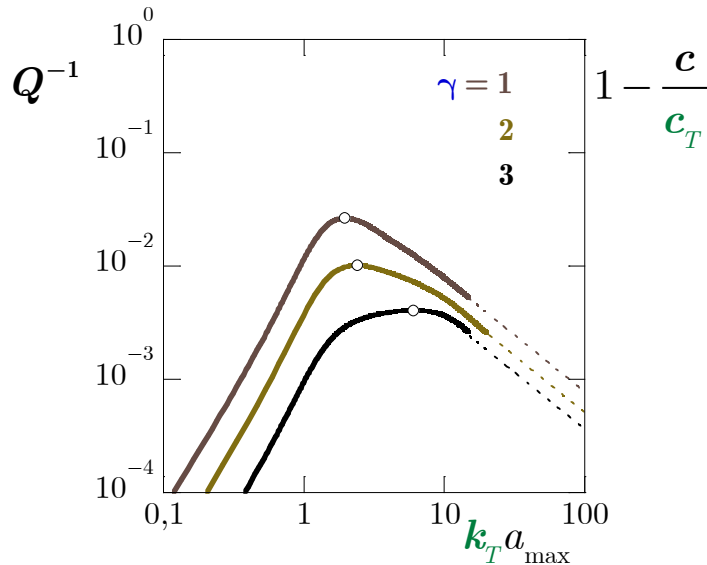


- ✓ distribution de tailles en loi de puissance :

$$p_a(a) \simeq a^{-\gamma}, \quad a_{\min} \leq a \leq a_{\max}, \quad 1 \leq \gamma \leq 3$$
- ✓ fissures parallèles au front d'onde cohérent :

$$p_\theta(\theta) = \delta(\theta)$$
- ✓ $\varepsilon = n_0 a_{\max}^2 = 0,05; \quad 10 \times a_{\min} = a_{\max}$

la proportion de fissures de grande taille augmente lorsque γ diminue pour a_{\max} fixé



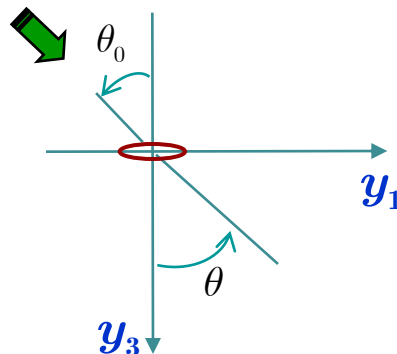
- lorsque proportion de fissures de grande taille augmente :
- l'atténuation augmente
 - la célérité diminue

Partie B

III. Diffusion simple par une fissure ouverte

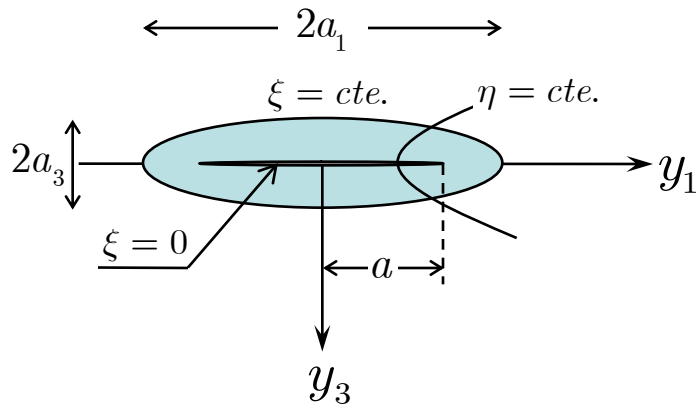
1. Formulation
2. Champs en présence
3. Amplitude de diffusion

IV. Analyse de la diffusion multiple par une distribution aléatoire de diffuseurs linéiques



- fissure ouverte = cylindre elliptique vide
- solicitation sous incidence

III.1 Formulation



- ✓ (ξ, η) – coordonnées elliptiques cylindriques
- ✓ $\pm a$ – foyers de l'ellipse de frontière :

$$\xi_0 = a \tanh \tau$$
- ✓ ouverture de l'ellipse $\tau = \frac{a_3}{a_1}$

si $\tau \rightarrow 0$ l'ellipse se réduit à un segment de taille $2a$

si $\tau \rightarrow 1$ l'ellipse se réduit à un cercle de rayon a_1

✓ Fonctions d'onde elliptiques :

➤ régulières

$$\hat{\psi}_{\sigma n}(\xi, \eta) = J_{\sigma n}(\xi) e_{\sigma n}(\eta)$$

➤ divergentes

$$\psi_{\sigma n}(\xi, \eta) = H_{\sigma n}(\xi) e_{\sigma n}(\eta)$$

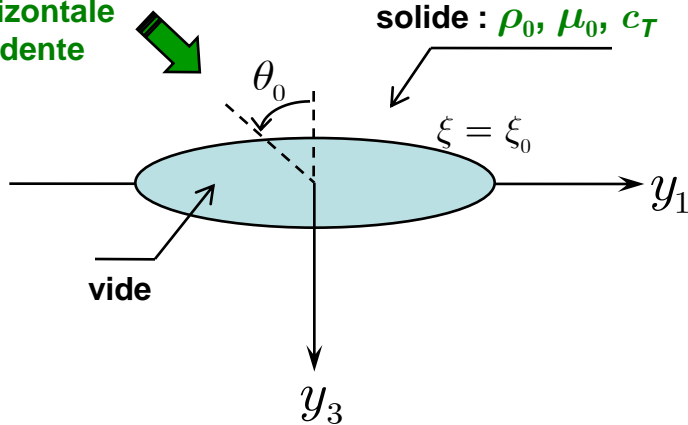
$\sigma = \text{pair, impair}$

$n = 0, 1, 2, \dots$

Fonctions de Mathieu radiales et angulaires

III.2 Champs en présence

onde transverse
horizontale
incidente



$$\left\{ \begin{array}{l} \checkmark \text{ ellipse de frontière : } \xi_0 = a \tanh \tau \\ \checkmark \text{ ouverture de l'ellipse : } \tau = \frac{a_3}{a_1} \end{array} \right.$$

✓ Déplacement incident :

$$\mathbf{u}_2^{\text{Inc}}(\xi, \eta) = \sum_{\sigma} \sum_{n=0}^{+\infty} A_{\sigma n}(\theta_0) \hat{\psi}_{\sigma n}(\xi, \eta)$$

coefficients connus

✓ Déplacement diffusé :

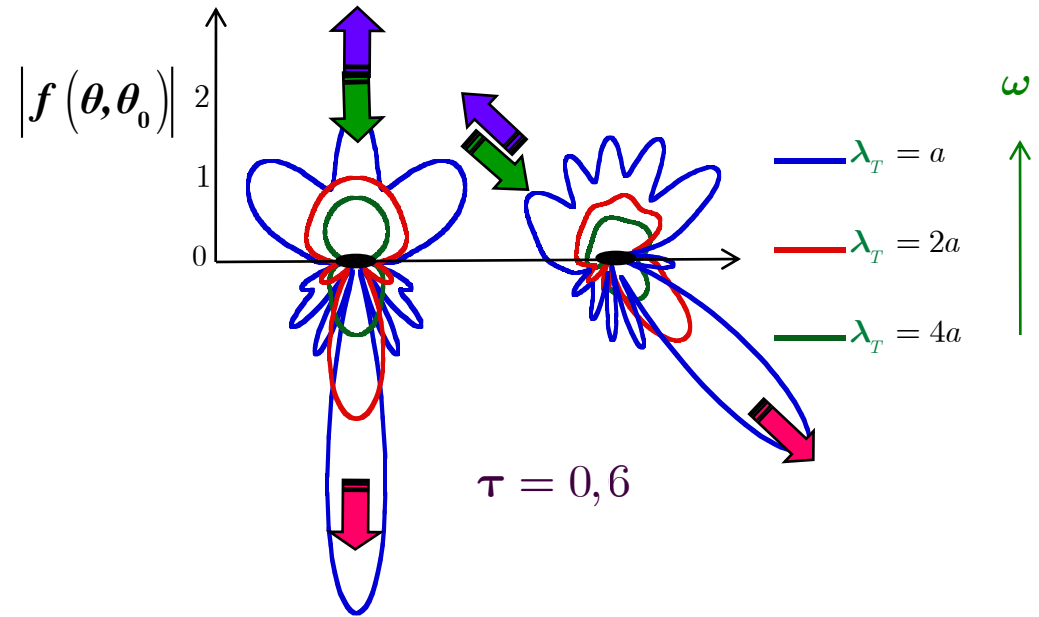
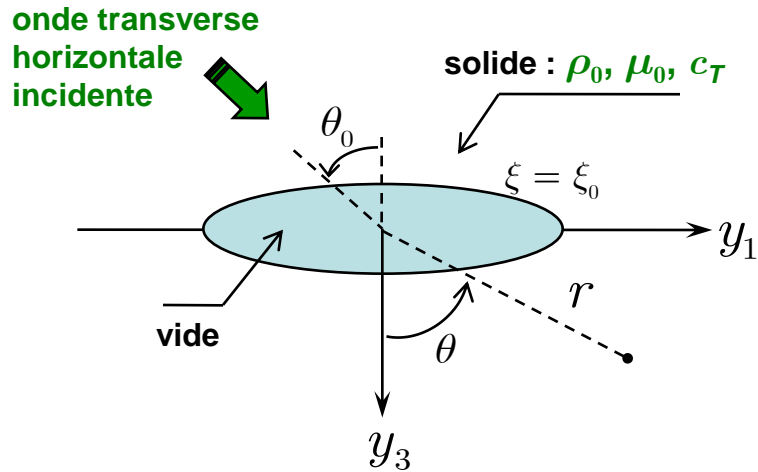
$$\mathbf{u}_2^{\text{Dif}}(\xi, \eta) = \sum_{\sigma} \sum_{n=0}^{+\infty} A_{\sigma n}(\theta_0) \mathbf{C}_{\sigma n} \psi_{\sigma n}(\xi, \eta)$$

coefficients de diffusion (à déterminer)

✓ Condition de surface libre :

$$\frac{\partial \mathbf{u}_2^{\text{Dif}}}{\partial \xi} = -\frac{\partial \mathbf{u}_2^{\text{Inc}}}{\partial \xi}, \quad \xi = \xi_0 \Rightarrow \mathbf{C}_{\sigma n} = -\left. \frac{J'_{\sigma n}(\xi)}{H'_{\sigma n}(\xi)} \right|_{\xi = a \tanh \tau}$$

III.3 Amplitude de diffusion



➤ **En champ lointain** $\xi \rightarrow \infty, 2r \simeq a e^\xi, \theta \simeq \eta$

✓ **Amplitude de diffusion** $f(\theta, \theta_0) = \frac{2}{i\pi} \sum_{\sigma} \sum_{n=0}^{+\infty} C_{\sigma n}(\tau) e_{\sigma n}(\theta_0) e_{\sigma n}(\theta)$

diffusion vers l'avant : $\theta = \theta_0$

diffusion vers l'arrière : $\theta = \theta_0 + \pi$

➤ $\tau \rightarrow 0$ = idem partie A

➤ symétrie du plan de fissure

➤ ω ↗ plus directif

Partie B

III. Diffusion simple par une fissure ouverte

IV. Analyse de la diffusion multiple par une distribution aléatoire de diffuseurs linéiques

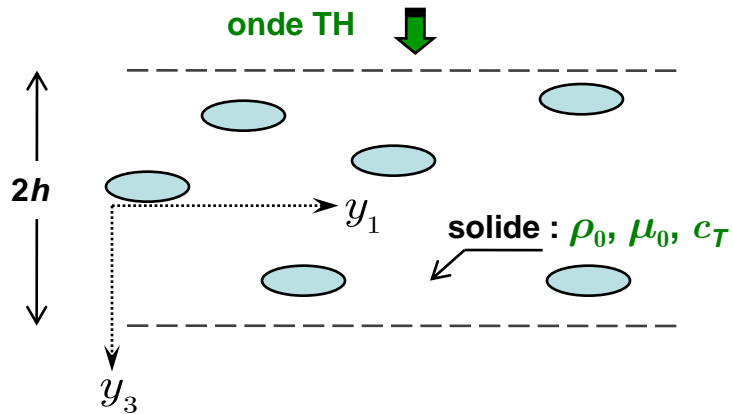
1. Modélisation :

- Propriétés acoustiques/mécaniques du milieu effectif

2. Applications :

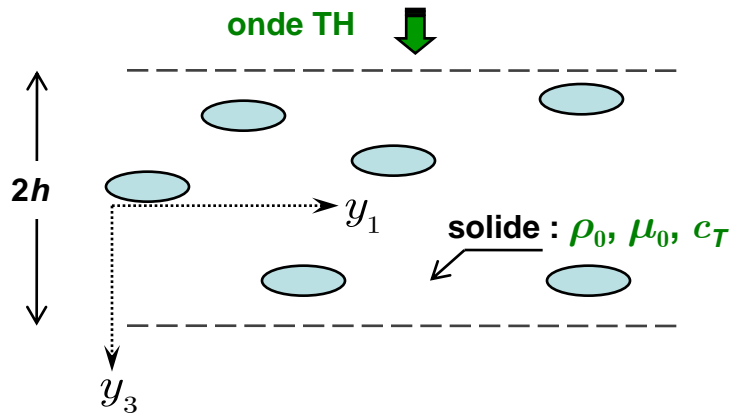
- Distribution uniforme de fissures
- Distribution non-uniforme de fissures
- Distribution superficielle de fissures
- Tenseurs effectifs appropriés

IV.1 Modélisation

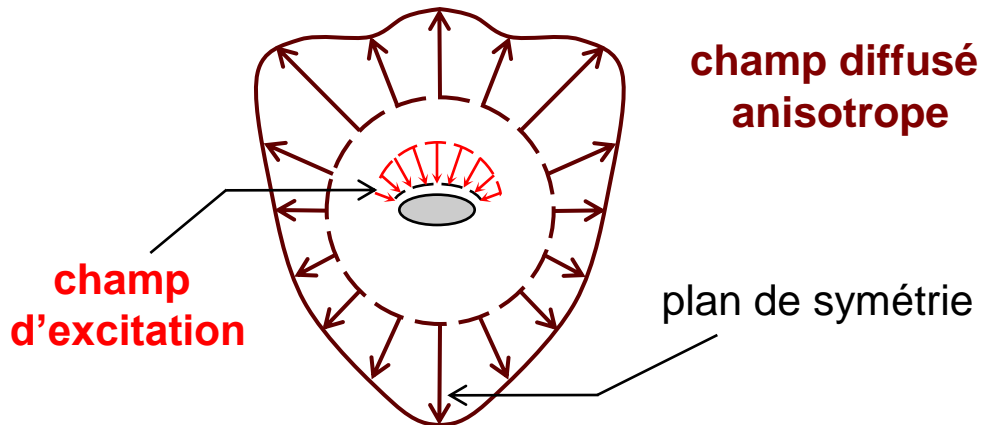


- ✓ distribution uniforme et aléatoire de diffuseurs
- ✓ couche d'épaisseur $2h$
- ✓ n_0 : nombre de diffuseurs par unité de surface

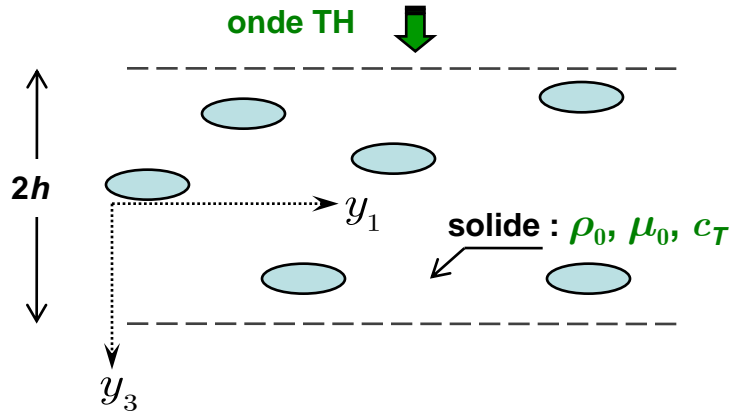
IV.1 Modélisation



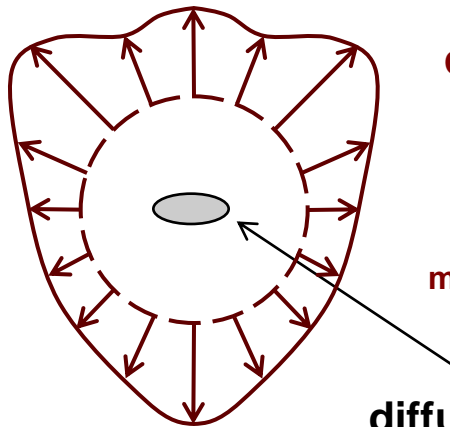
- ✓ distribution uniforme et aléatoire de diffuseurs
- ✓ couche d'épaisseur $2h$
- ✓ n_0 : nombre de diffuseurs par unité de surface
- ✓ symétrie / y_3



IV.1 Modélisation



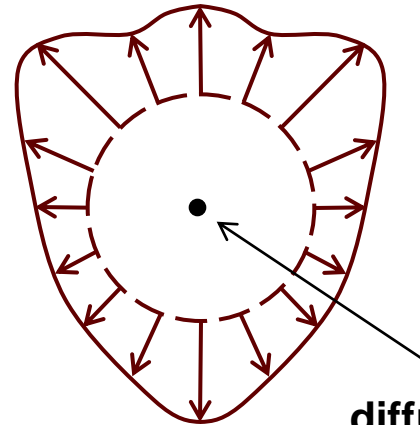
- ✓ distribution uniforme et aléatoire de diffuseurs
- ✓ couche d'épaisseur $2h$
- ✓ n_0 : nombre de diffuseurs par unité de surface
- ✓ symétrie / y_3
- ✓ diffuseurs linéiques



**champ diffusé
anisotrope**

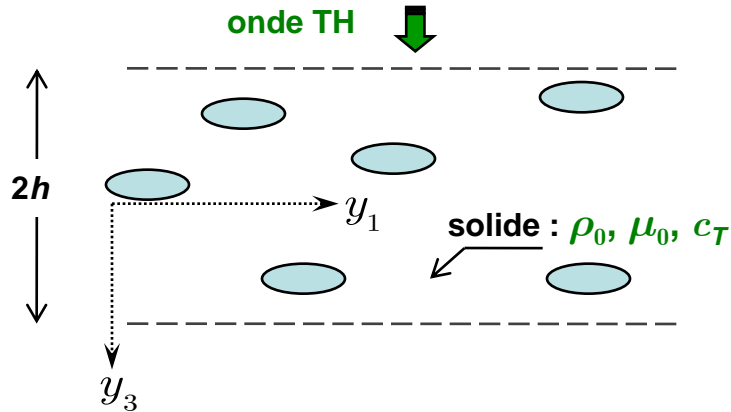
mêmes caractéristiques
de diffusion

**diffuseur de
taille réelle**



**diffuseur linéique
anisotrope**

IV.1 Modélisation



- ✓ distribution uniforme et aléatoire de diffuseurs
- ✓ couche d'épaisseur $2h$
- ✓ n_0 : nombre de diffuseurs par unité de surface
- ✓ symétrie / y_3
- ✓ diffuseurs linéiques

description probabiliste

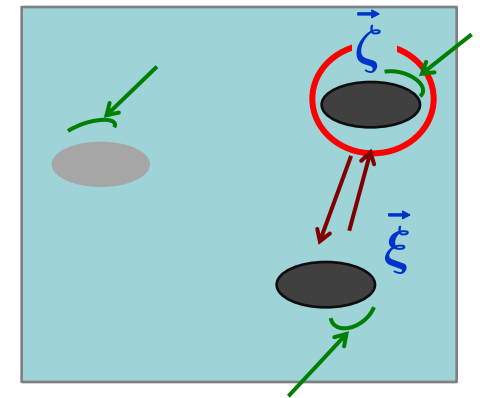
$$\langle \mathbf{u}^{\text{Tot}} \rangle(\vec{y}) = \mathbf{u}^{\text{Inc}}(\vec{y}) + n_0 \int_{-h}^h \int_{-\infty}^{\infty} \langle \mathbf{u}^{\text{Dif}} \rangle(\vec{y}; \vec{\zeta}) d\zeta_3 d\zeta_1$$

$$\langle \mathbf{u}^{\text{Ex}} \rangle(\vec{y}; \vec{\zeta}) = \mathbf{u}^{\text{Inc}}(\vec{y}) + n_0 \int_{-h}^h \int_{-\infty}^{\infty} \langle \mathbf{u}^{\text{Dif}} \rangle(\vec{y}; \vec{\xi}, \vec{\zeta}) d\xi_3 d\xi_1$$

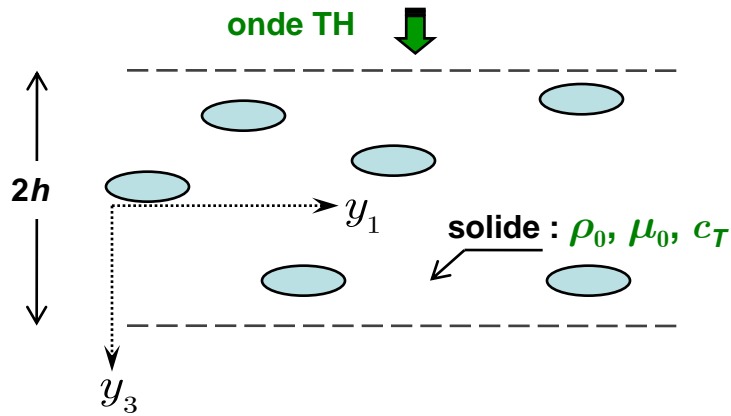
Hypothèse Globale de Fermeture

$$\langle \mathbf{u}^{\text{Ex}} \rangle(\vec{\zeta}; \vec{\zeta}) = \langle \mathbf{u}^{\text{Tot}} \rangle(\vec{\zeta}) \quad , \quad (y_3, y_1) \rightarrow (\zeta_3, \zeta_1)$$

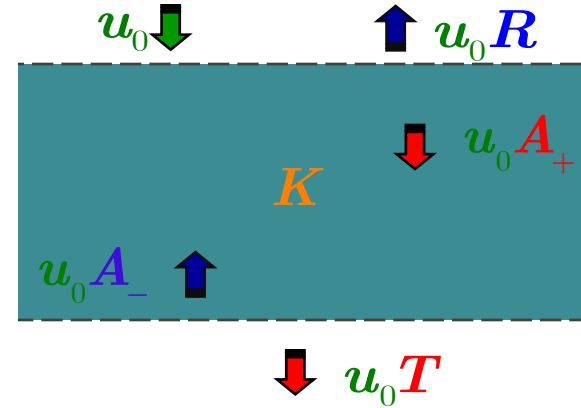
illustration



IV.1 Modélisation

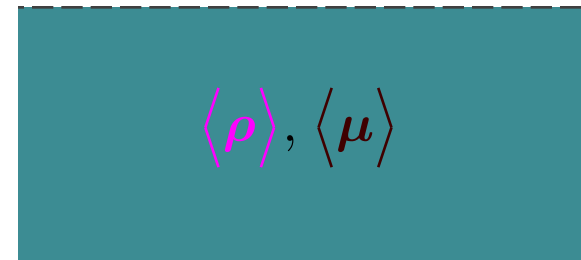
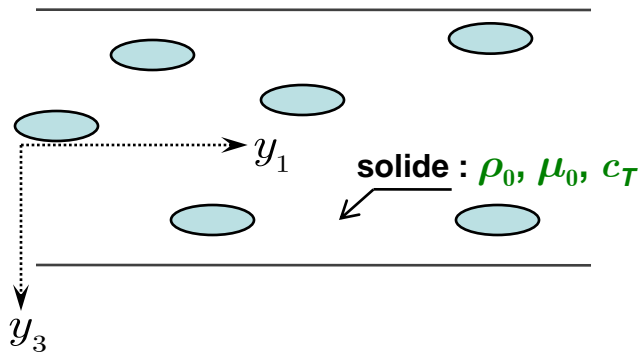


expression
de $\langle u^{\text{Tot}} \rangle$



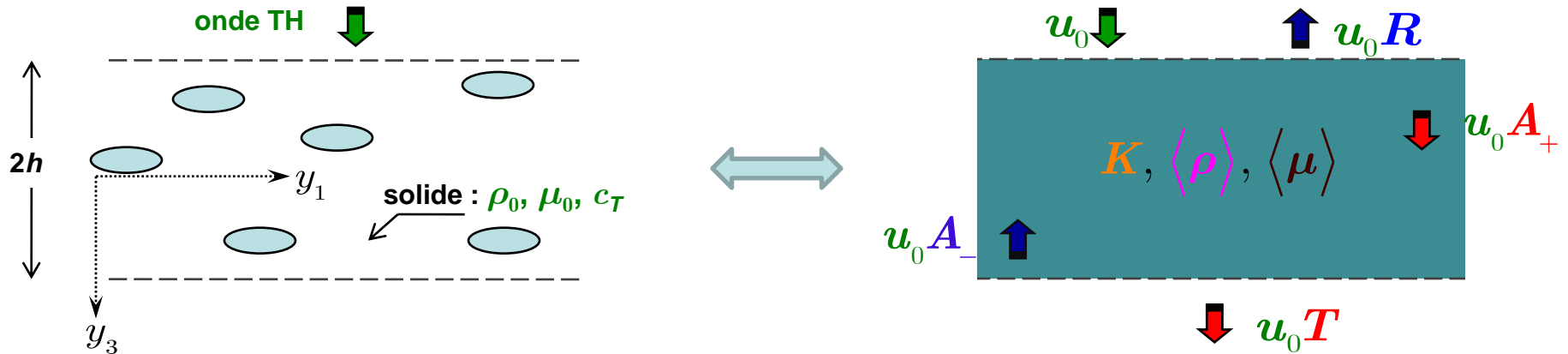
propriétés acoustiques de l'onde cohérente :

K, R, T, A_-, A_+



propriétés mécaniques effectives : $\langle \rho \rangle, \langle \mu \rangle$

IV.1 Modélisation



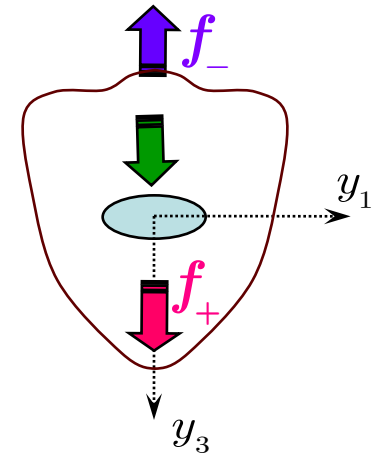
➤ **Nombre d'onde effectif *** $K^2 = k_T^2 \left(1 + n_0 \frac{2\pi}{k_T^2} f_+ \right)^2 - k_T^2 \left(n_0 \frac{2\pi}{k_T^2} f_- \right)^2$

➤ **Masse volumique effective** $\langle \rho \rangle(\omega) = \rho_0 \left(1 + n_0 \frac{2\pi}{k_T^2} (f_+ + f_-) \right)$

➤ **Module de rigidité effectif** $\langle \mu \rangle(\omega) = \mu_0 / \left(1 + n_0 \frac{2\pi}{k_T^2} (f_+ - f_-) \right)$

- ✓ description complète
- ✓ flexibilité

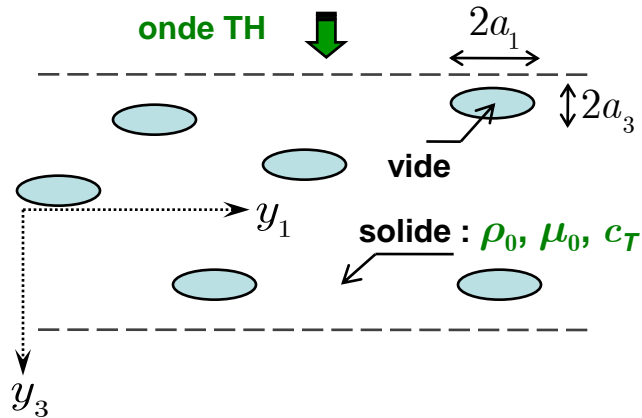
➤ traiter les cas de distributions de fissures (non) uniforme et surfacique



fibre, coque, cavité, fissure,...

*[Waterman & Truell, J. Math. Phys (1961)]

IV.2 Distribution uniforme de fissures



- ✓ ouverture des fissures : $\tau = a_3 / a_1$
- ✓ une seule famille de fissures (τ fixe)
- ✓ densité de fissures : $\varepsilon = n_0 a_1^2$

➤ Nombre d'onde effectif

$$\vec{K}(\omega) = \left(\frac{\omega}{c(\omega)} + i\alpha(\omega) \right) \vec{y}_3$$

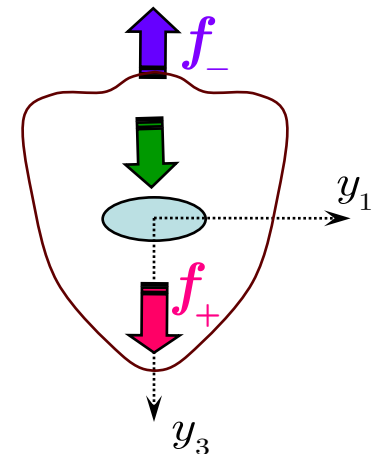
✓ Effet de l'ouverture des fissures sur α et c

$$\tau_i = \tau \leq 1, \vec{a}_1 \parallel \vec{y}_1$$

$$\tau_i = \frac{1}{\tau} > 1, \vec{a}_3 \parallel \vec{y}_1$$

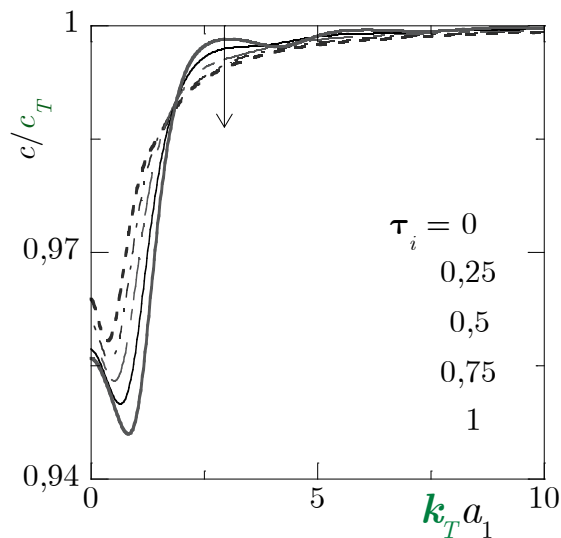
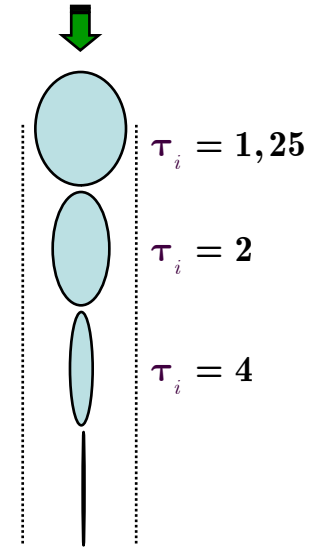
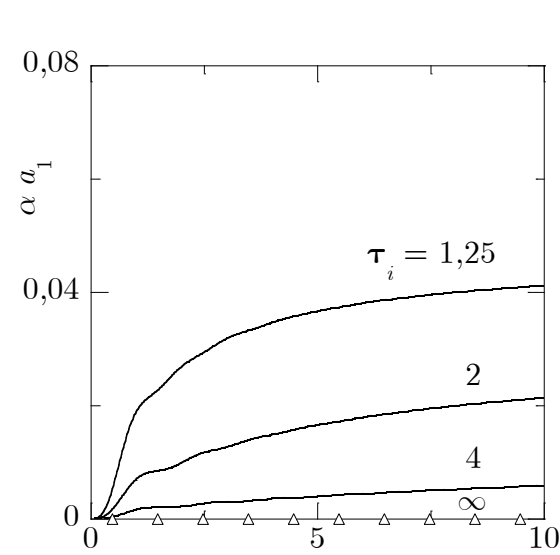
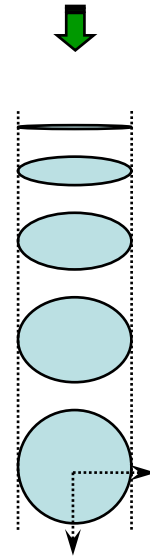
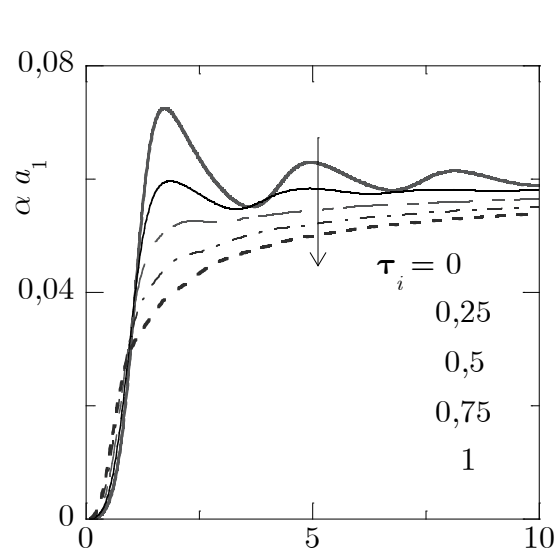


$$\varepsilon = 0,03$$

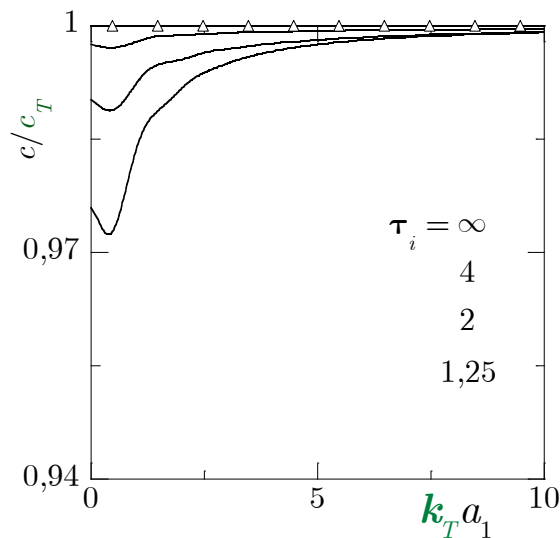


fissure ouverte vide

Effet de l'ouverture sur α et c



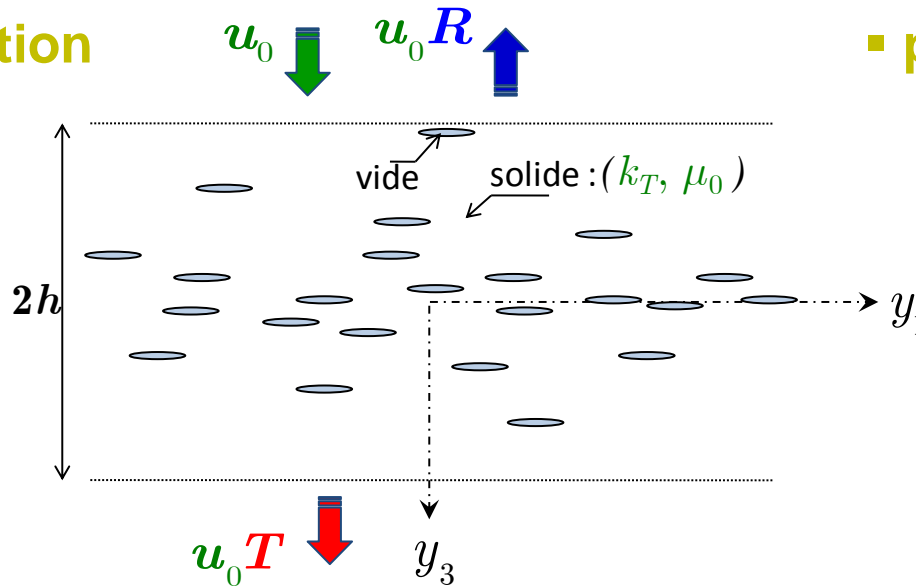
atténuation et célérité gouvernées par le volume de la fissure



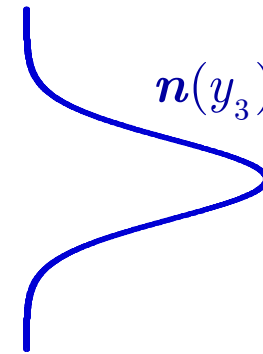
atténuation et célérité gouvernées par la longueur active

IV.3 Distribution non-uniforme de fissures

■ illustration

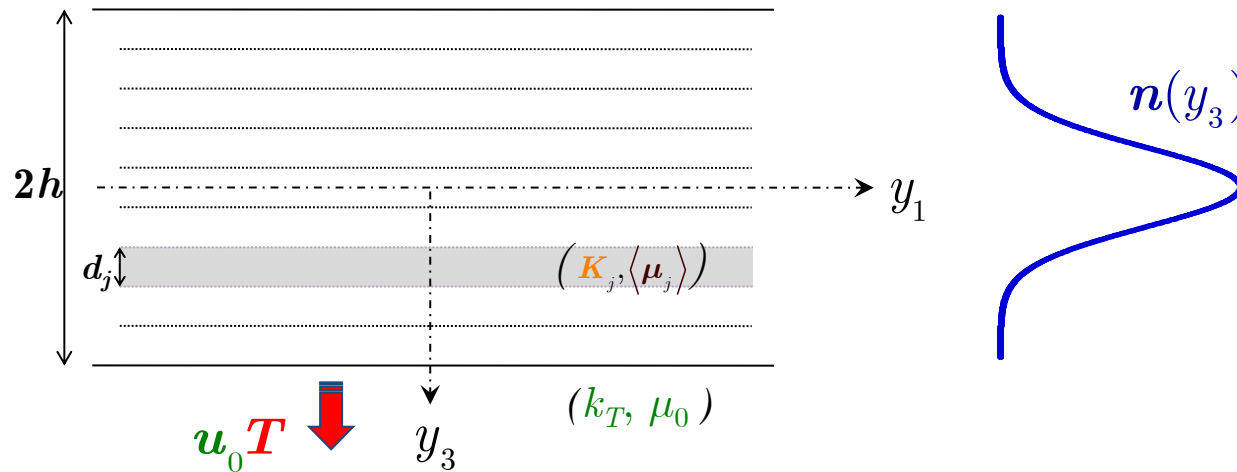


■ profil de densité de fissures



IV.3 Distribution non-uniforme de fissures

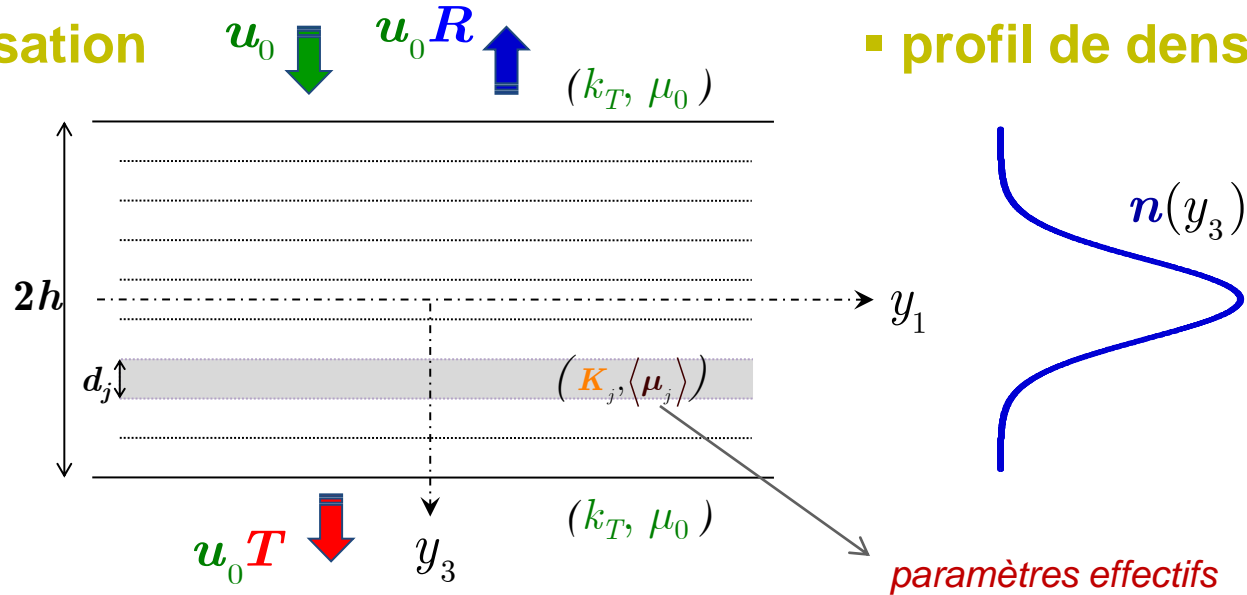
- modélisation u_0 $u_0 R$ (k_T, μ_0)
- profil de densité de fissures



$$\begin{Bmatrix} T e^{ik_T h} \\ ik_T \mu_0 T e^{ik_T h} \end{Bmatrix} = \prod_{j=p}^1 \begin{bmatrix} \cos K_j d_j & \frac{\sin K_j d_j}{K_j \langle \mu_j \rangle} \\ -K_j \langle \mu_j \rangle \sin K_j d_j & \cos K_j d_j \end{bmatrix} \begin{Bmatrix} e^{-ik_T h} + R e^{ik_T h} \\ ik_T \mu_0 (e^{-ik_T h} - R e^{ik_T h}) \end{Bmatrix}$$

IV.3 Distribution non-uniforme de fissures

- **modélisation**
- **profil de densité de fissures**



$$n(0)a^2 = 0,03$$

paramètres effectifs

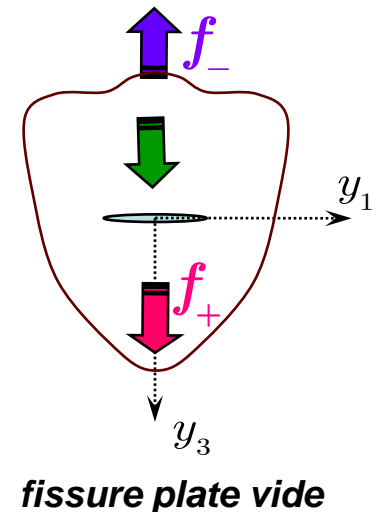
✓ Nombre d'onde effectif

$$K^2(y_3) = k_T^2 \left(1 + n(y_3) \frac{2\pi}{k_T^2} f_+ \right)^2 - k_T^2 \left(n(y_3) \frac{2\pi}{k_T^2} f_- \right)^2$$

✓ Module de rigidité effectif

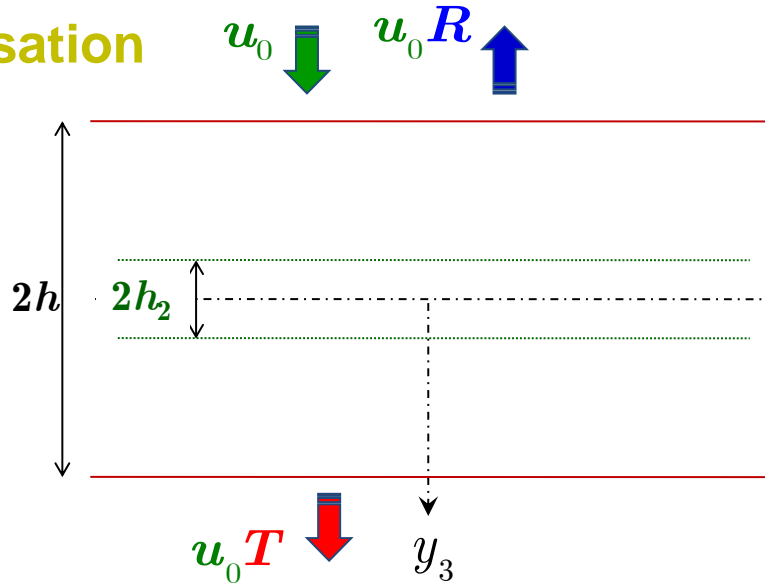
$$\langle \mu \rangle(y_3) = \mu_0 / \left(1 + n(y_3) \frac{2\pi}{k_T^2} (f_+ - f_-) \right)$$

varie spatialement

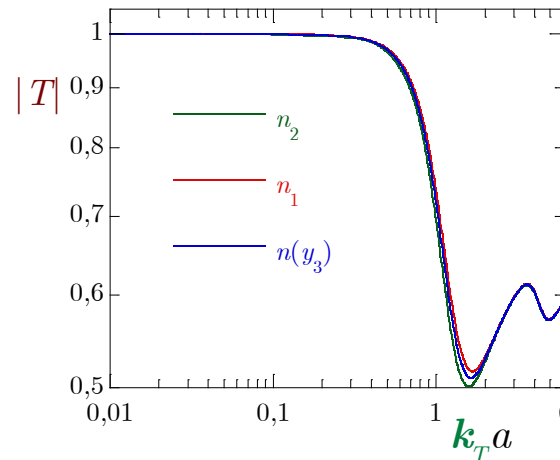
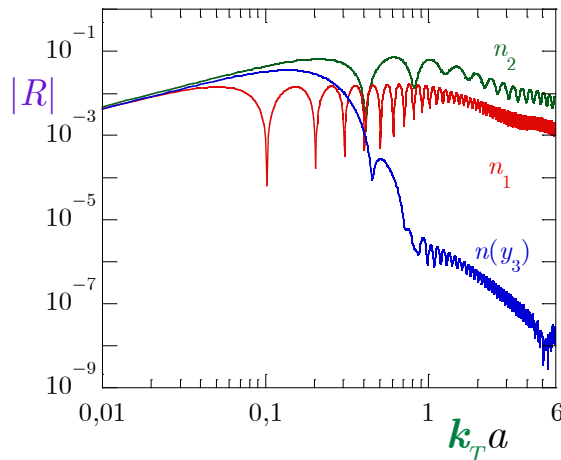
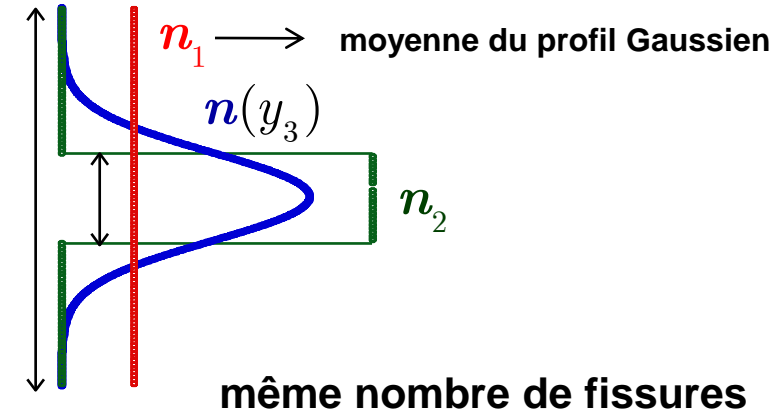


Différents profils de densité

modélisation

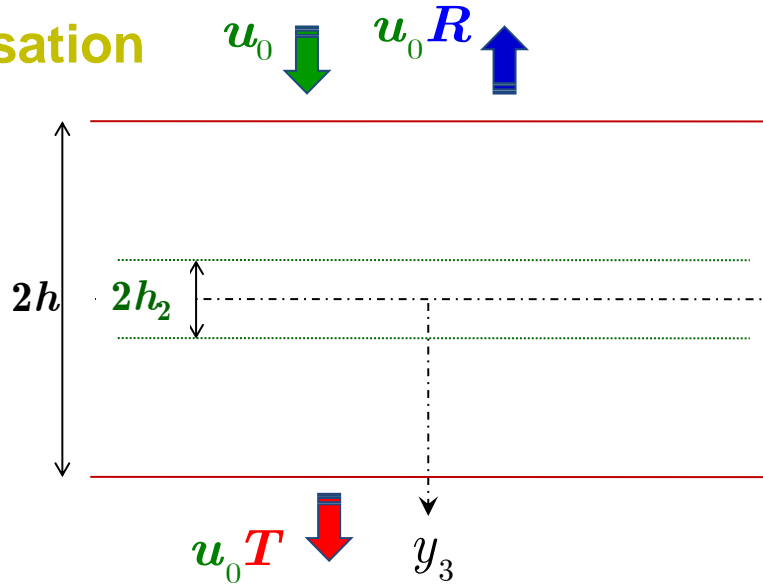


profils de densité de fissures

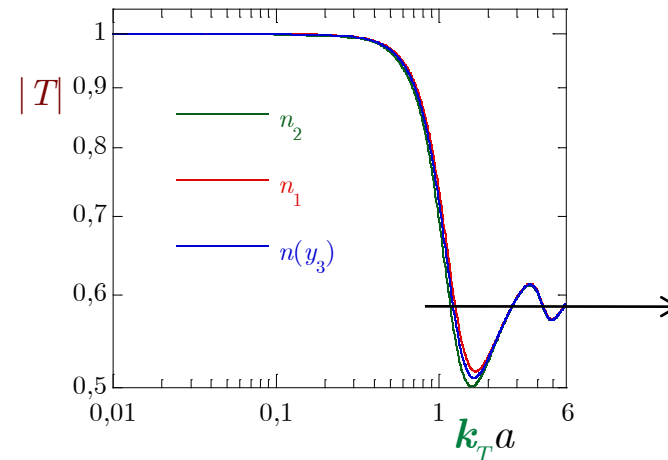
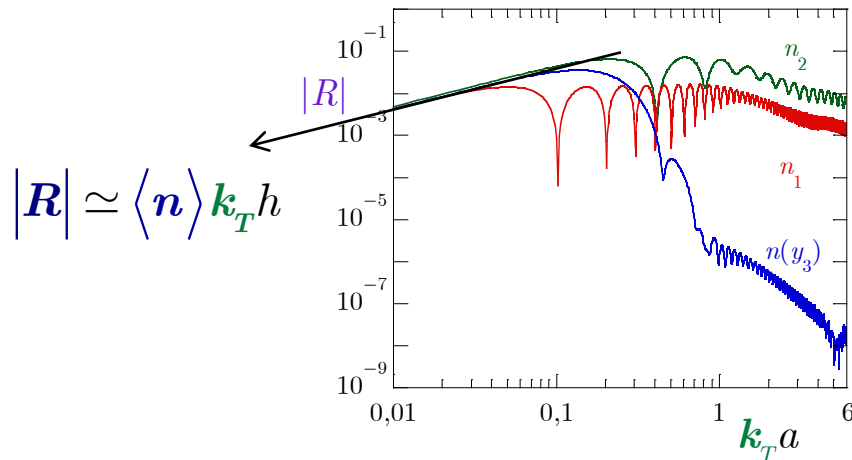
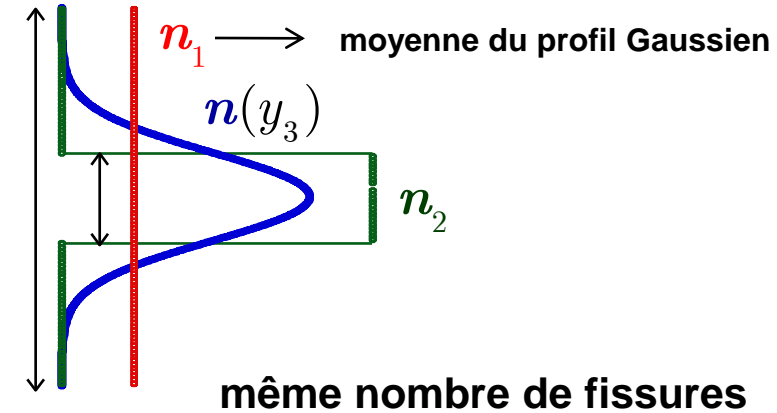


Différents profils de densité

modélisation



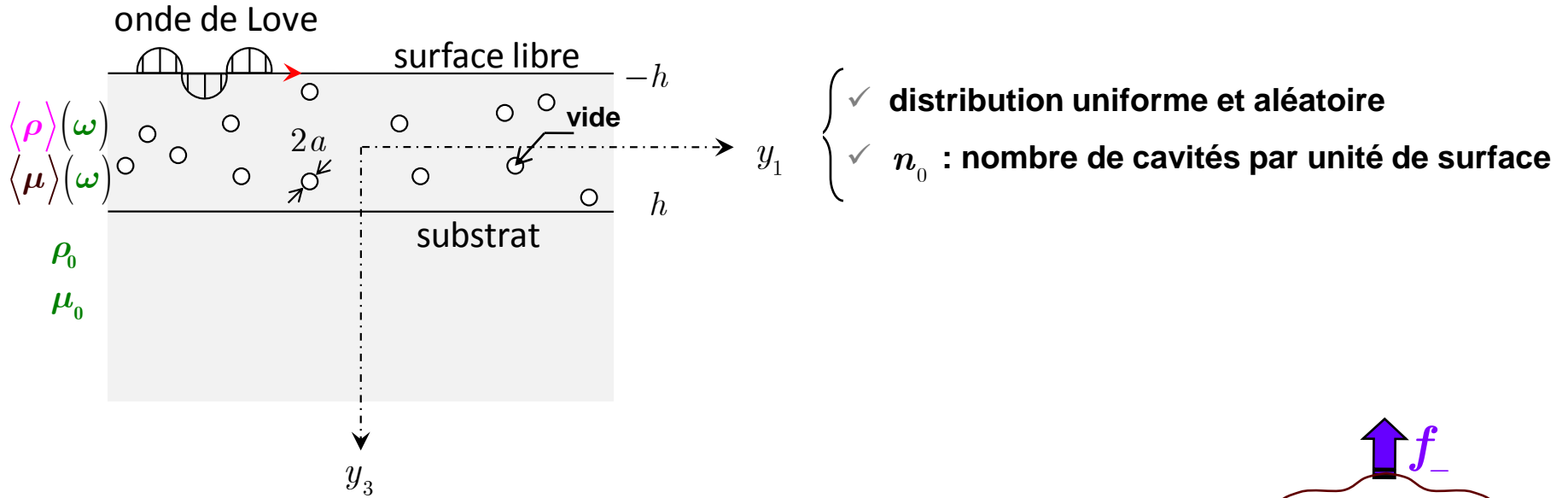
profils de densité de fissures



$$|T| \rightarrow \exp(-4 \langle n \rangle ah)$$

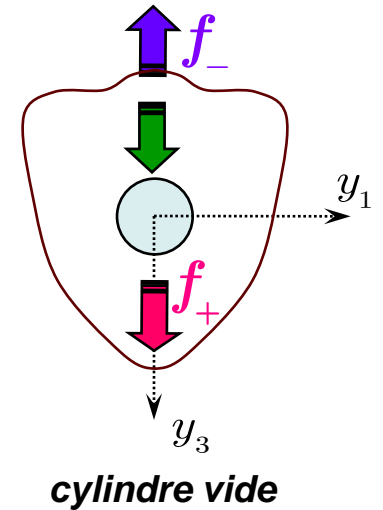
\downarrow
densité de fissures effective

IV.4 Distribution surfacique de fissures

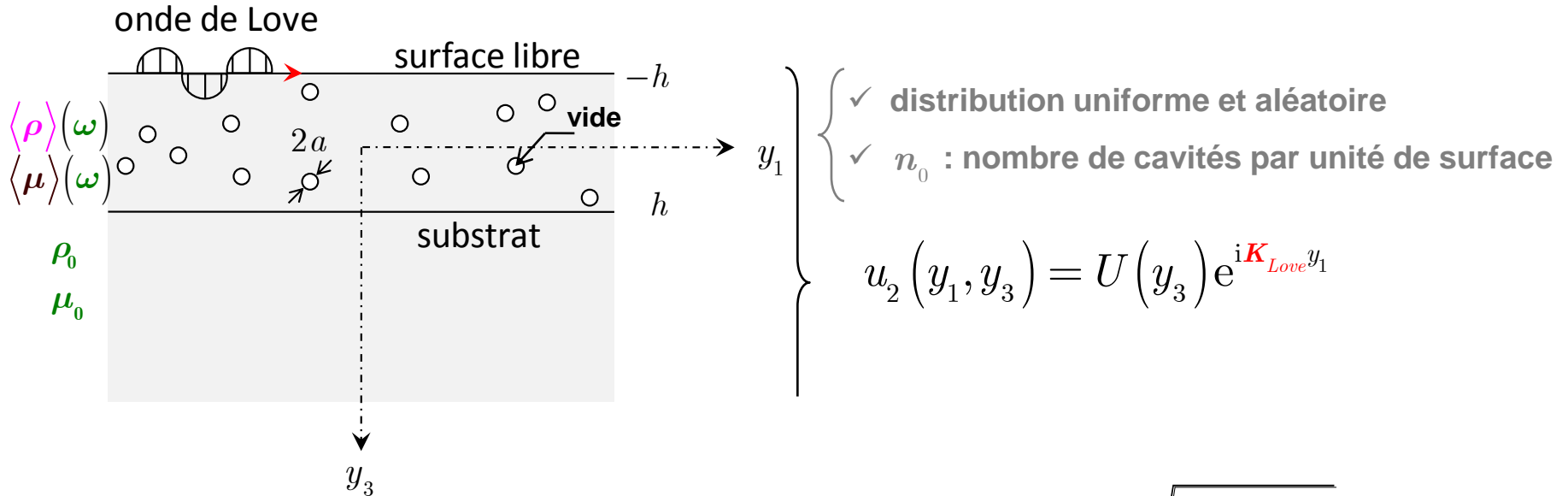


✓ Couche avec des cavités : milieu effectif

$$\langle \rho \rangle(\omega), \langle \mu \rangle(\omega), \vec{K}(\omega) = \left(\frac{\omega}{c(\omega)} + i\alpha(\omega) \right) \vec{y}_3$$



IV.4 Distribution surfacique de fissures



✓ **Équation de dispersion :**

$$i \tan \left(h \sqrt{k_{couche}(\omega) - K_{Love}^2} \right) - \frac{\mu_0}{\langle \mu \rangle(\omega)} \frac{\sqrt{k_T^2 - K_{Love}^2}}{\sqrt{k_{couche}(\omega) - K_{Love}^2}} = 0$$

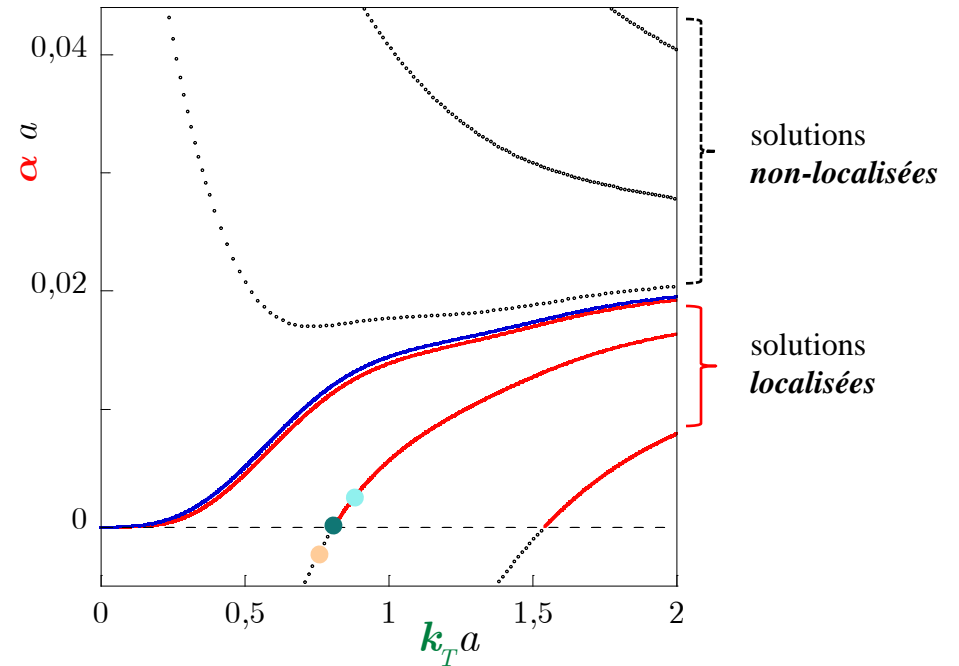
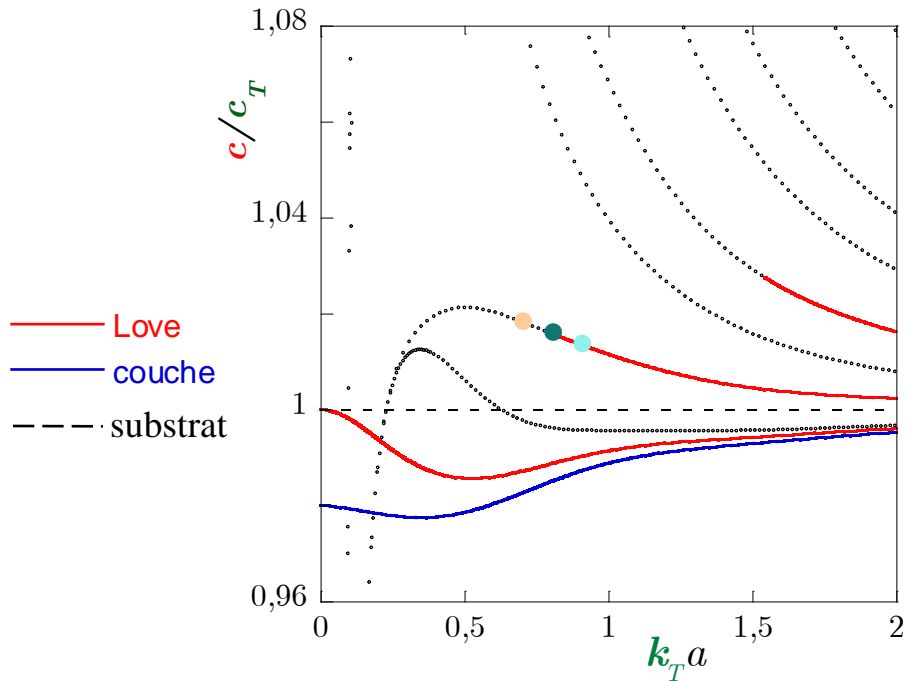
Les solutions *localisées à la surface* décroissent dans la profondeur du substrat :

$$\text{Im} \sqrt{k_T^2 - K_{Love}^{(n)2}} \geq 0$$

➤ **Branches d'atténuation** $\alpha^{(n)}$ **et de dispersion** $c^{(n)}$ ($n = 0, 1, \dots$)

$$\vec{K}_{Love}(\omega) = K_{Love} \vec{y}_1 = \left(\frac{\omega}{c(\omega)} + i\alpha(\omega) \right) \vec{y}_1$$

Spectres de dispersion et d'atténuation



Les solutions *localisées à la surface* décroissent dans la profondeur du substrat :

$$\text{Im} \sqrt{k_T^2 - K_{\text{Love}}^{(n)2}} \geq 0$$

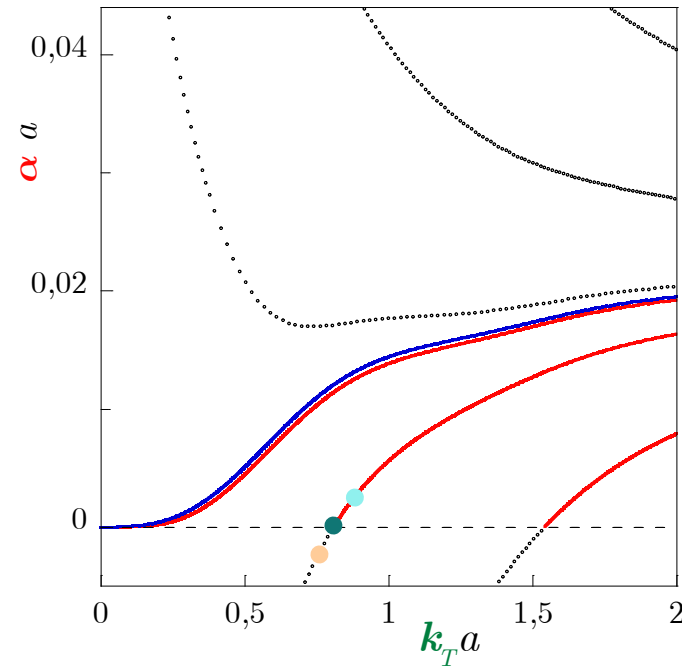
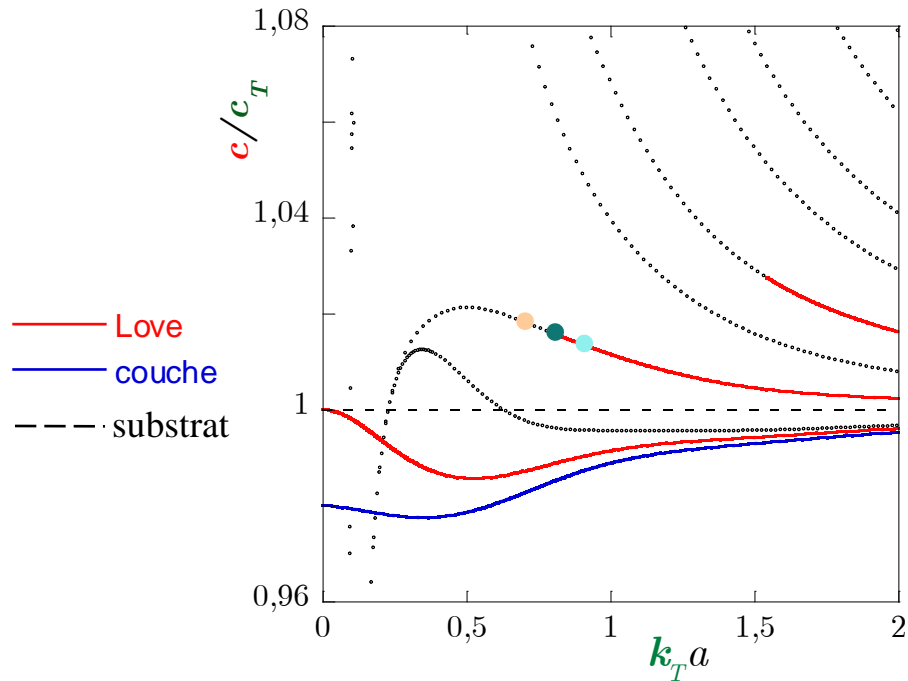
couche d'épaisseur :

$$h = 10a$$

densité de fissures :

$$\varepsilon = 0,03$$

Spectres de dispersion et d'atténuation



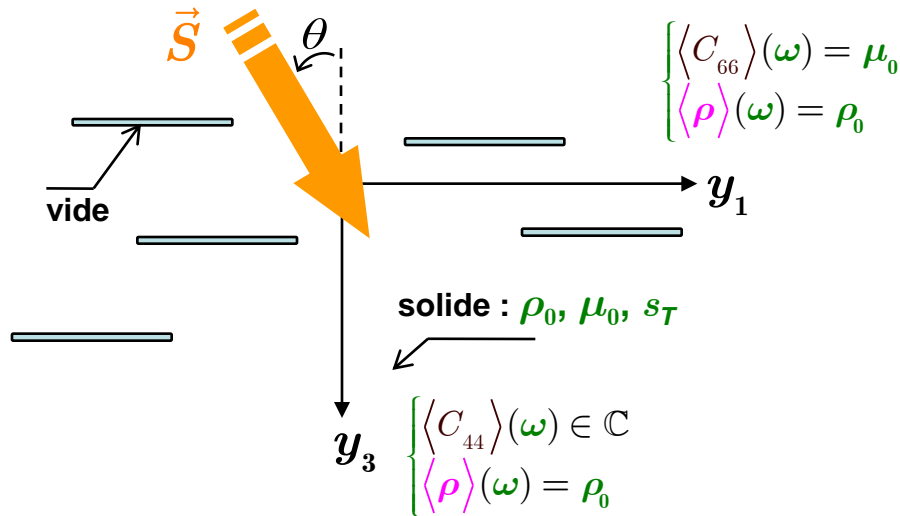
Les solutions *localisées à la surface* décroissent dans la profondeur du substrat :

$$\text{Im} \sqrt{k_T^2 - K_{\text{Love}}^{(n)2}} \geq 0$$

$$\begin{cases} c_{\text{coupure}}^{(n)}(\omega) > c_T, \quad \forall \omega > 0 \\ \alpha^{(n)} \neq 0 \\ \alpha^{(0)}(\omega) \approx \alpha(\omega) \end{cases}$$

IV.5 Tenseurs effectifs appropriés

onde cohérente TH



propriétés sont connues selon **deux** directions

$$\vec{K} = \omega \vec{S} = \omega (S_1 \vec{y}_1 + S_3 \vec{y}_3)$$

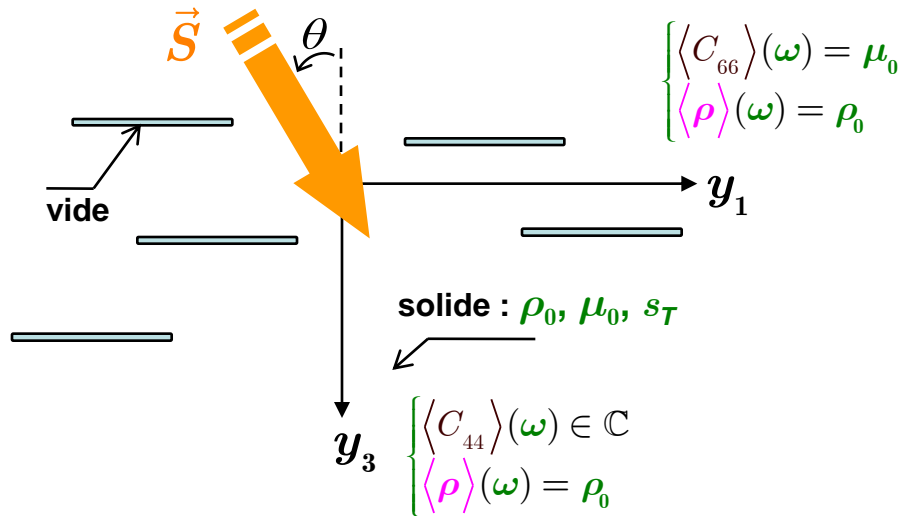
lenteur de phase effective

Peut-on décrire la propagation de l'onde cohérente TH pour toute direction du plan (y_3, y_1) à l'aide de l'équation de dispersion propre au milieu homogène ?

$$\langle C_{66} \rangle S_1^2 + \langle C_{44} \rangle S_3^2 - \rho_0 = 0$$

IV.5 Tenseurs effectifs appropriés

onde cohérente TH



propriétés sont connues selon **deux** directions

$$\vec{K} = \omega \vec{S} = \omega \begin{pmatrix} S \sin \theta \\ S \cos \theta \end{pmatrix}$$

lenteur de phase effective

Peut-on décrire la propagation de l'onde cohérente TH pour toute direction du plan (y_3, y_1) à l'aide de l'équation de dispersion propre au milieu homogène ?

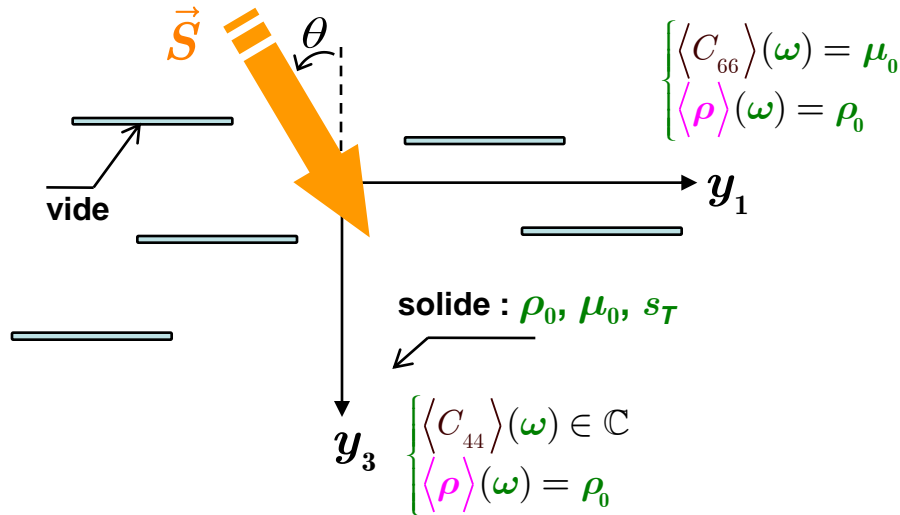
$$\langle C_{66} \rangle S^2 \sin^2 \theta + \langle C_{44} \rangle S^2 \cos^2 \theta - \rho_0 = 0$$



$$S = S' + iS''$$

IV.5 Tenseurs effectifs appropriés

onde cohérente TH



propriétés sont connues selon **deux** directions

$$\vec{K} = \omega \vec{S} = \omega \begin{pmatrix} S \sin \theta \\ S \cos \theta \end{pmatrix}$$

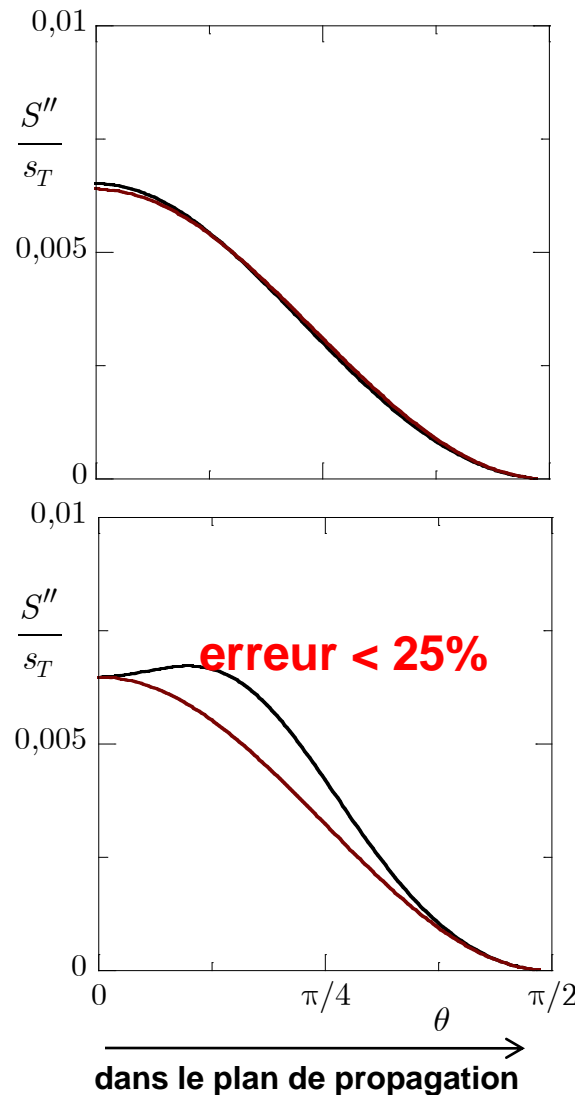
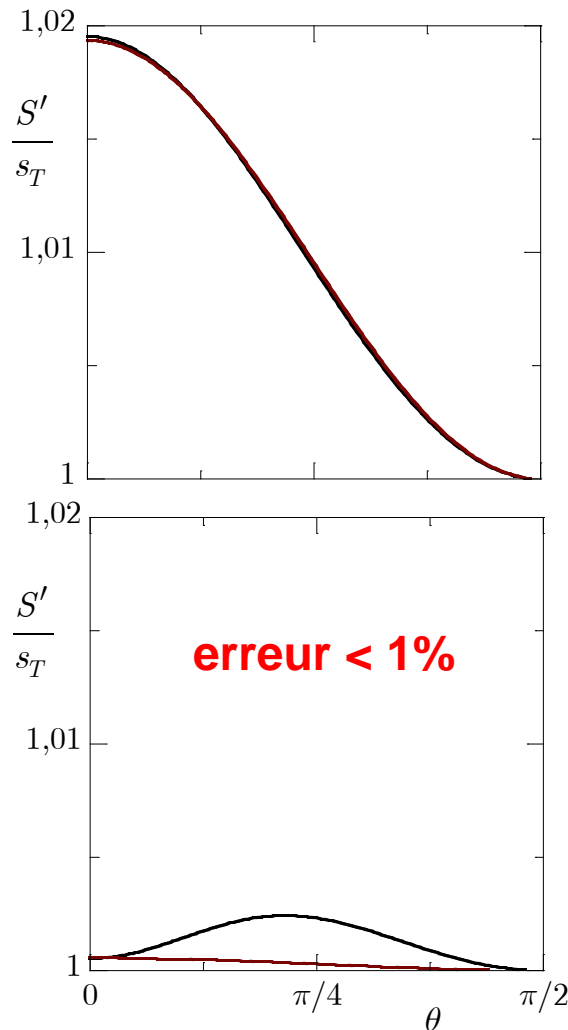
lenteur de phase effective

Peut-on décrire la propagation de l'onde cohérente TH pour toute direction du plan (y_3, y_1) à l'aide de l'équation de dispersion propre au milieu homogène ?

✓ **Alternativement nous pouvons calculer la lenteur de phase effective à partir d'une méthode énergétique pour tout angle θ**

(limitée au faibles concentrations de fissures !)

IV.5 Tenseurs effectifs appropriés



densité de fissures : $\varepsilon = 0,01$

$$k_T a = 0,8$$

Éq.de dispersion vs.
méthode énergétique

$$k_T a = 3$$

Conclusion

- ✓ Diffusion simple d'ondes TH par une fissure (plate, elliptique)
- ✓ Diffusion multiple d'ondes cohérentes TH en milieux multifissurés

- Nous avons développé un modèle pour traiter le cas des fissures *inclinées*
- Nous avons montré l'intérêt des propriétés mécaniques effectives en traitant les cas de :
 - distribution *uniforme* de fissures
 - distribution *non-uniforme* de fissures
 - distribution *surfactive* de fissures

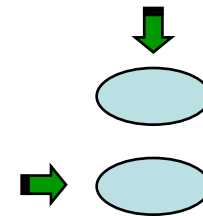
Perspectives

✓ R  t  ration des th  ories de diffusion multiple afin d'investiguer la diffusion d'ondes planes vectorielles (Longitudinales-Transverses Verticales) dans des milieux multifissur  s

$$\Rightarrow C_{ij}(\omega) = ?$$

✓ Inversion basse fr  quence des r  sultats analytiques pour obtenir
taille de fissures
densit   de fissures,...

$$\left\{ \begin{array}{l} \langle C_{44} \rangle(\omega) = \mu_0 \left(\frac{1}{1 + \pi\varepsilon + \pi\varepsilon\tau} + O(k_T^2 a^2 \ln(k_T a)) - i \frac{\pi^2 \varepsilon (1 + \tau)^2}{8(1 + (1 + \tau)\pi\varepsilon)^2} k_T^2 a^2 (1 + O(\ln(k_T a))) \right) \\ \langle C_{66} \rangle(\omega) = \langle C_{44} \rangle(\omega) \quad \left(\text{avec } \tau \mapsto \frac{1}{\tau} \right) \end{array} \right.$$

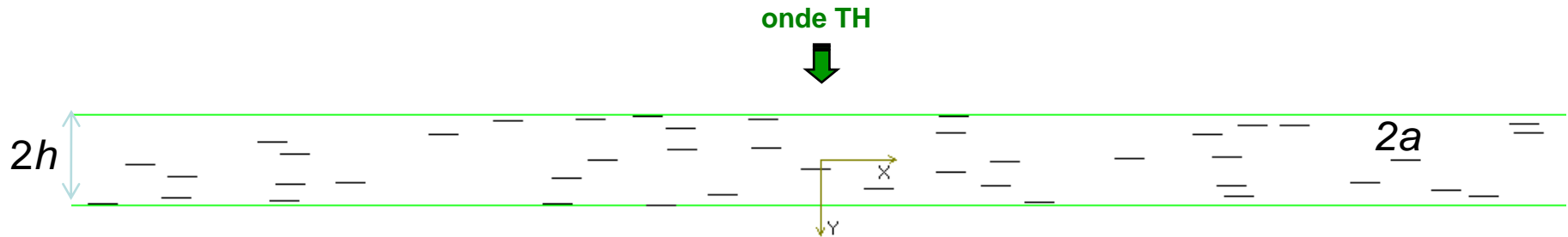


Partie C

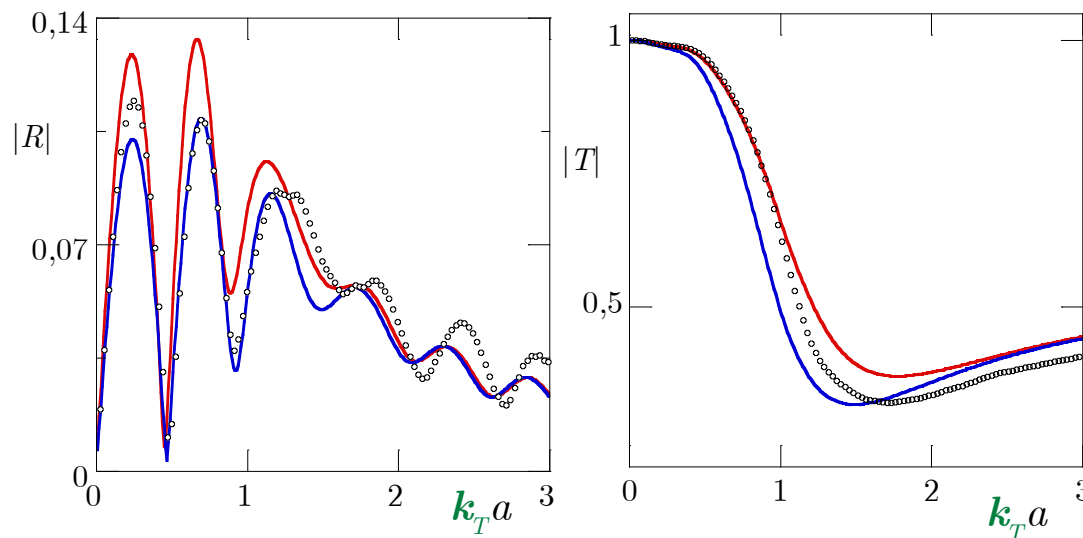
V. Comparaison à des prédictions numériques (FDTD)

1. Distribution uniforme de fissures plates
2. Distribution non-uniforme de fissures plates

V.1 Distribution uniforme de fissures



Spectres moyens de réflexion et de transmission



◦ FDTD*

— fissures de taille réelle **partie A**

— diffuseurs linéiques **partie B**

couche d'épaisseur :

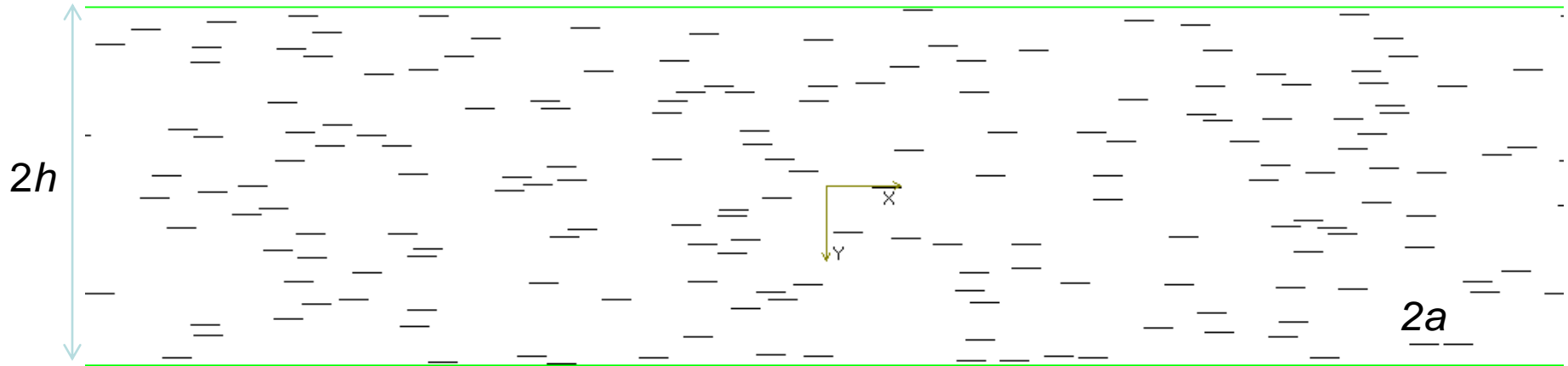
$$h = 3a$$

densité de fissures :

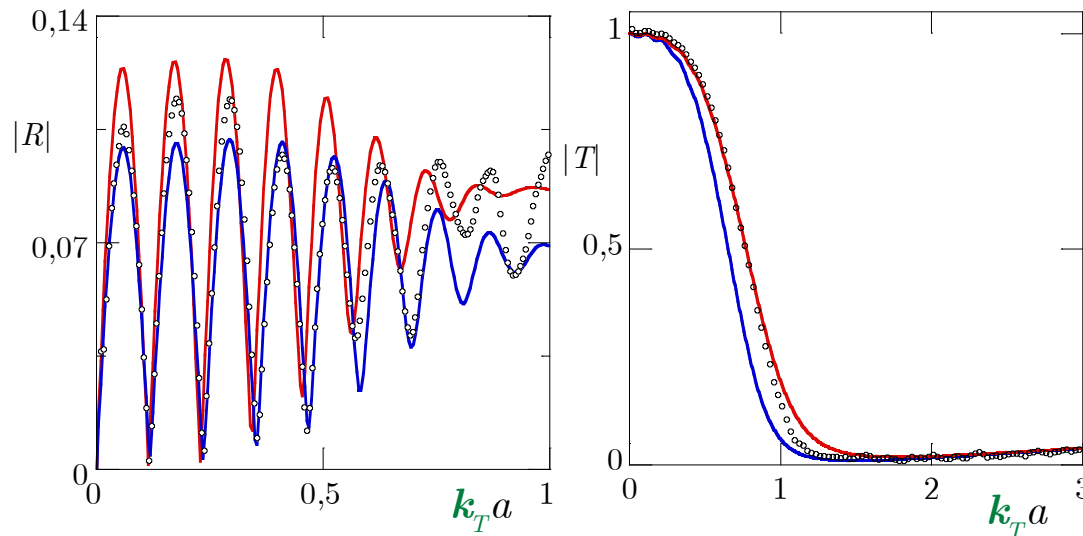
$$\varepsilon = 0,07$$

moyenne sur (80 simulations x 2000 récepteurs)

V.1 Distribution uniforme de fissures



Spectres moyens de réflexion et de transmission



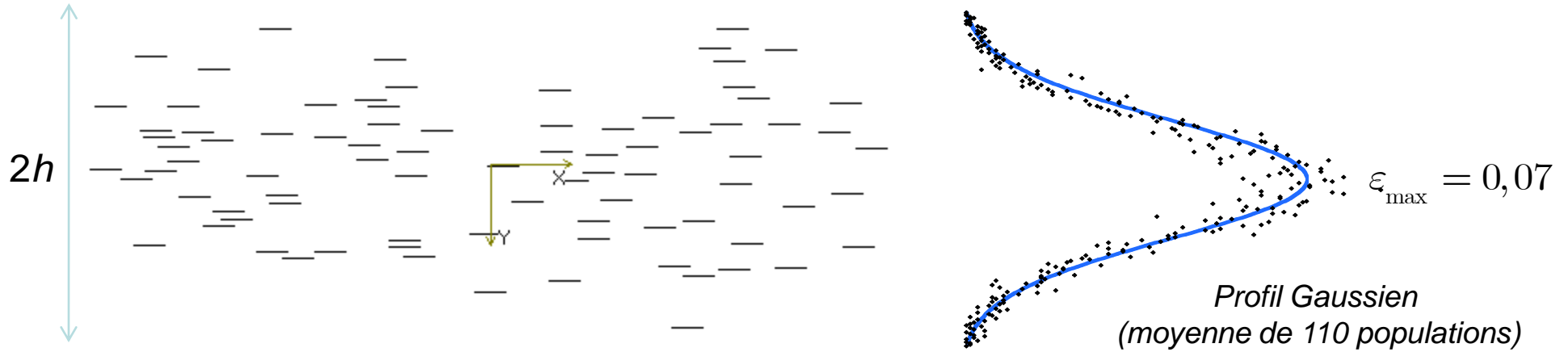
○ FDTD
— fissures de taille réelle **partie A**
— diffuseurs linéiques **partie B**

couche d'épaisseur :
 $h = 12a$

densité de fissures :
 $\varepsilon = 0,07$

moyenne sur (80 simulations x 2000 récepteurs)

V.2 Distribution non-uniforme de fissures



Spectres moyens de réflexion et de transmission

